ORGANISATION FÜR GEISTIGES EIGENTUM Internationales Büro



INTERNATIONALE ANMELDUNG VERÖFFENTLICHT NACH DEM VERTRAG ÜBER DIE INTERNATIONALE ZUSAMMENARBEIT AUF DEM GEBIET DES PATENTWESENS (PCT)

(51) Internationale Patentklassifikation 7: C12N 15/29, 15/05, C07K 14/415, C12N 15/82, 5/10

(11) Internationale Veröffentlichungsnummer: WO 00/50598

(43) Internationales Veröffentlichungsdatum:

31. August 2000 (31.08.00)

(21) Internationales Aktenzeichen:

PCT/DE00/00506

(22) Internationales Anmeldedatum: 18. Februar 2000 (18.02.00)

(30) Prioritätsdaten:

199 07 598.0

22. Februar 1999 (22.02.99)

DE

A1

(71)(72) Anmelder und Erfinder: SCHULZ, Burkhard [DE/DE]; Eupener Strasse 16 a, D-50933 Köln (DE).

(74) Anwalt: DEHMEL & BETTENHAUSEN; Müllerstrasse 1, D-80469 München (DE).

(81) Bestimmungsstaaten: AE, AL, AM, AT, AU, AZ, BA, BB, BG, BR, BY, CA, CH, CN, CR, CU, CZ, DE, DK, DM, EE, ES, FI, GB, GD, GE, GH, GM, HR, HU, ID, IL, IN, IS, JP, KE, KG, KP, KR, KZ, LC, LK, LR, LS, LT, LU, LV, MA, MD, MG, MK, MN, MW, MX, NO, NZ, PL, PT, RO, RU, SD, SE, SG, SI, SK, SL, TJ, TM, TR, TT, TZ, UA, UG, US, UZ, VN, YU, ZA, ZW, ARIPO Patent (GH, GM, KE, LS, MW, SD, SL, SZ, TZ, UG, ZW), eurasisches Patent (AM, AZ, BY, KG, KZ, MD, RU, TJ, TM), europäisches Patent (AT, BE, CH, CY, DE, DK, ES, FI, FR, GB, GR, IE, IT, LU, MC, NL, PT, SE), OAPI Patent (BF, BJ, CF, CG, CI, CM, GA, GN, GW, ML, MR, NE, SN, TD, TG).

#### Veröffentlicht

Mit internationalem Recherchenbericht.

Vor Ablauf der für Änderungen der Ansprüche zugelassenen Frist; Veröffentlichung wird wiederholt falls Änderungen

(54) Title: DNA SEQUENCE OF A PROTEIN THAT IS SIMILAR TO FKBP

(54) Bezeichnung: DNA-SEQUENZ EINES FKBP ÄHNLICHEN PROTEINS

#### (57) Abstract

The present invention relates to a nucleic acid sequence according to SEQ ID NO:1, SEQ ID NO:2, SEQ ID NO:5 or SEQ ID NO:7 or the fragment or derivative thereof or a nucleic acid sequence which is hybridised with the nucleic acid sequence according to SEQ ID NO:1, SEQ ID NO:2, SEQ ID NO:5 or SEQ ID NO:7 and which is provided with the biological activity of the nucleic acid sequence according to SEQ ID NO:1, SEQ ID NO:2, SEQ ID NO:5 or SEQ ID NO:7. The invention also relates to transgenic plants and the seeds thereof, whereby said plants comprise a recombinant inventive nucleic acid sequence.

#### (57) Zusammenfassung

Die vorliegende Erfindung betrifft eine Nukleinsäuresequenz gemäss SEQ ID NO:1, SEQ ID NO:2, SEQ ID NO:5 oder SEQ ID NO:7 oder deren Fragment oder Derivat oder eine Nukleinsäuresequenz, die mit der Nukleinsäuresequenz gemäss SEQ ID NO:1, SEQ ID NO:2, SEQ ID NO:5 oder SEQ ID NO:7 hybridisiert und die biologische Aktivität der Nukleinsäuresequenz gemäss SEQ ID NO:1, SEQ ID NO:2, SEQ ID NO:5 oder SEQ ID NO:7 besitzt. Die Erfindung betrifft ferner transgene Pflanzen und deren Samen umfassend eine rekombinante erfindungsgemässe Nukleinsäuresequenz.

## LEDIGLICH ZUR INFORMATION

Codes zur Identifizierung von PCT-Vertragsstaaten auf den Kopfbögen der Schriften, die internationale Anmeldungen gemäss dem PCT veröffentlichen.

AL	Albanien	ES	Spanien	LS	Lesotho	SI	Slowenien
AM	Armenien	FI	Finnland	LT	Litauen	SK	Slowakei
AT	Österreich	FR	Frankreich	LU	Luxemburg	SN	Senegal
AU	Australien	GA	Gabun	LV	Lettland	SZ	Swasiland
AZ	Aserbaidschan	GB	Vereinigtes Königreich	MC	Monaco	TD	Tschad
BA	Bosnien-Herzegowina	GE	Georgien	MD	Republik Moldau	TG	Togo
BB	Barbados	GH	Ghana	MG	Madagaskar	ТJ	Tadschikistan
BE	Belgien	GN	Guinea	MK	Die ehemalige jugoslawische	TM	Turkmenistan
BF	Burkina Faso	GR	Griechenland		Republik Mazedonien	TR	Türkei
BG	Bulgarien	HU	Ungam	ML	Mali	TT	Trinidad und Tobago
BJ	Benin	ΙE	Irland	MN	Mongolei	UA	Ukraine
BR	Brasilien	IL	Israel	MR	Mauretanien	UG	Uganda
BY	Belarus	IS	Island	MW	Malawi	US	Vereinigte Staaten von
CA	Kanada	IT	Italien	MX	Mexiko		Amerika
CF	Zentralafrikanische Republik	JP	Japan	NE	Niger	UZ	Usbekistan
CG	Kongo	KE	Kenia	NL	Niederlande	VN	Vietnam
CH	Schweiz	KG	Kirgisistan	NO	Norwegen	YU	Jugosławien
CI	Côte d'Ivoire	KP	Demokratische Volksrepublik	NZ	Neuseeland	ZW	Zimbabwe
CM	Kamerun		Korea	PL	Polen		
CN	China	KR	Republik Korea	PT	Portugal		
CU	Kuba	KZ	Kasachstan	RO	Rumänien		
CZ	Tschechische Republik	LC	St. Lucia	RU	Russische Föderation		
DE	Deutschland	LI	Liechtenstein	SD	Sudan		
DK	Dänemark	LK	Sri Lanka	SE	Schweden		
EE	Estland	LR	Liberia	SG	Singapur		

20

25

30

35

# DNA-Sequenz eines FKBP ähnlichen Proteins

Die vorliegende Erfindung betrifft eine Nukleinsäuresequenz gemäß SEQ ID NO:1, SEQ ID NO:2, SEQ ID NO:5 oder SEQ ID NO:7 oder deren Fragment oder Derivat oder eine Nukleinsäuresequenz, die mit der Nukleinsäuresequenz gemäß SEQ ID NO:1, SEQ ID NO:2, SEQ ID NO:5 oder SEQ ID NO:7 hybridisiert und die biologische Aktivität der Nukleinsäuresequenz gemäß SEQ ID NO:1, SEQ ID NO:2, SEQ ID NO:5 oder SEQ ID NO:7 besitzt. Die Erfindung betrifft ferner transgene Pflanzen und deren Samen umfassend eine rekombinante erfindungsgemäße Nukleinsäuresequenz.

Die sessile Lebensweise von Pflanzen fordert eine hohe Anpassungsfähigkeit an die Umweltbedingungen des Standortes. Die endogenen Wachstums- und Entwicklungsprogramme müssen auf exogene Faktoren abgestimmt werden. Dies setzt die Perzeption von exogenen Faktoren voraus, die für die Pflanze lebenswichtig sind. Da der Perzeptionsort meist vom Ort der Reizantwort verschieden ist, muß eine inter- und intrazelluläre Signaltransduktion stattfinden. Obwohl in Pflanzen und Tieren Reize über unterschiedliche Rezeptoren wahrgenommen werden und zu andersartigen Reizantworten führen, bedienen sie sich oft gleicher Prinzipien zur Vermittlung von Signalen. G-Proteine, Calzium bzw. Calmodulin, Proteinkinasen und Proteinphosphatasen sind Elemente von Signaltransduktionsketten, die in Pflanzen und Tieren vorkommen. Der generelle Mechanismus der Signalvermittlung ist in vielen-Fällen-konserviert.

Eine große Familie konservierter Proteine, über deren Funktionen bei der Signalvermittlung noch wenig bekannt ist, sind die Immunophiline (Schreiber, 1991, Science 251: 283-287). Die Immunophiline stellen eine Superfamilie dar, deren Mitglieder in Bakterien, Hefen, Pflanzen und Tieren zu finden sind. Sie sind in verschiedenen Zellkompartimenten lokalisiert und an den verschiedenartigsten Prozessen zur Signalvermittlung beteiligt. Sie wurden als intrazelluläre Rezeptoren für immunsuppressive Substanzen in Säugetierzellen identifiziert (Handschumacher et al., 1984, Science 266: 544-547). Die Immunophiline lassen sich strukturell und durch ihre Affinität zu Immunsuppressiva in drei Klassen unterteilen: Cyclophiline, die CyclosporinA

binden, FK506 bindende Proteine, die FK506 oder Rapamycin binden und Parvuline, die keine Affinität gegenüber immunsupprimierenden Substanzen besitzen. CyclosporinA, FK506 und Rapamycin sind Substanzen, die von bodenbewohnenden Pilzen synthetisiert werden. Ihre Wirkung in Säugetieren ist die Unterdrückung der Immunantwort, was in der Transplantationsmedizin genutzt wird, um die Abstoßungsreaktion gegen ein körperfremdes Organ zu mindern.

Die FK506-bindenden Proteine (FKBPs) werden ihrer Größe entsprechend eingeteilt. Das kleinste FKBP in Eukaryonten, FKBP12, ist ein relativ gut untersuchtes Immunophilin. Es vermittelt in Abhängigkeit von der gebundenen immunsupprimierenden Substanz unterschiedliche Antworten (Bram et al., 1993, Mol. Cell. Biol. 13: 4760-4769; Brown et al., 1994, Nature 369: 756-758; Liu et al., 1991, Cell 66: 807-815). Die Bindung von FK506 an FKBP12 führt zur Komplexbildung mit der Calzium/Calmodulin abhängigen Proteinphosphatase Calzineurin.

15

20

25

30

10

5

Calzineurin ist an zahlreichen Signaltransduktionen beteiligt und seine Inhibierung durch den FKBP12-FK506-Komplex vermittelt u.a. die Unterdrückung der T-Zellaktivierung. Die Unterdrückung der Immunantwort durch FK506 wird anders als von Rapamycin über die Inaktivierung von Calzineurin vermittelt (Schreiber and Crabtree, 1992, Immunology Today 13:136-142). Im Komplex mit Rapamycin interagiert FKBP12 mit dem Protein mTOR (mammalian target of rapamycin). Eine Domäne des Proteins mTOR besitzt Sequenzhomologie zur katalytischen Domäne von Phosphatidylinositol-Kinasen (Sabatini et al., 1994, Cell 78: 35-43). Die Antwort, die FKBP12 mit Rapamycin vermittelt, führt in Interleukin-2 stimulierten T-Arretierung in der G1-Phase des Abwesenheit von Zellzyklus. In immunsupprimierenden Substanzen interagiert FKBP12 Elementen anderer Signaltransduktionen, z.B. mit dem Rezeptor für den Transforming Growth Factor-b (TGF-b Rezeptor) und moduliert seine Funktion bei der Zellzykluskontrolle (Wang et al., 1994, Science 265: 674-676). FKBP12 ist desweiteren an der Regulation zweier intrazellulärer Calziumkanäle beteiligt, nämlich des Inositol-1,4,5-triphosphatrezeptors und des Ryanodinrezeptors (Brillantes et al., 1994; Cameron et al., 1995, Cell 83: 463-472). FK506 oder Rapamycin führte zur Dissoziation von FKBP12 und Calzineurin von den Calziumkanalkomplexen und darüber zu einem erhöhten Calzium-Efflux durch diese Kanäle. Die Regulation der Calziumkanäle durch FKBP12 konnte anhand von Untersuchungen einer transgenen Mausmutante, die kein

10

15

20

25

30

funktionelles FKBP12 exprimiert, bestätigt werden (Shou et al., 1998, Nature 391: 489-492). FKBP12-defiziente Mäuse starben vor oder kurz nach der Geburt an einer Herzmuskelschwäche, die auch bei Patienten beobachtet wurde, die mit FK506 behandelt wurden. Die Calzium-Leitfähigkeit der Ryanodinrezeptoren in Skelettmuskeln dieser Mäuse glich der eines gereinigten Rezeptors ohne gebundenes FKBP12.

FKBP59 aus Säugetieren wurde als essentielle Komponente von nicht an Liganden gebundene Steroidrezeptorkomplexe identifiziert (Sanchez et al., 1990, Biochemistry 29: 5145-5152). In diesem Multiproteinkomplex sind ebenfalls zwei Hitzeschock-Proteine, Hsp70 und Hsp90, identifiziert worden. Die Bindung von FKBP59 an den Steroidrezeptor erfolgt indirekt über Hsp90 (Peattie et al., 1992). Die Interaktion von FKBP59 und Hsp90 wird von einem Protein-Protein-Interaktionsmotiv, konservierten den sogenannten Tetratricopeptid-Wiederholungen (TPR) vermittelt Das TPR-Motiv ist eine 34-Aminosäuresequenz, die ursprünglich in Proteinen gefunden wurde, die bei der Zellzyklusregulation, Transkriptionsregulation, dem Proteintransport und an der Hitzeschockantwort beteiligt sind (Goebl and Yanagida, 1991, TIBS 16: 173-177). Die TPR-Domäne des Typs III besteht aus der dreimaligen Wiederholung des TPR-Motivs, wobei zwei der Wiederholungen direkt aufeinanderfolgen. Der Abstand zum ersten TPR-Motiv ist konserviert und beträgt 10-16 Aminosäuren. Die Sequenzmotive bilden amphipatische α-Helices, die als "knob-hole"-Struktur bezeichnet wurden und eine spezifische Protein-Protein-Interaktion vermitteln können.

Die Bindung eines Steroidhormons an den Rezeptorkomplex führt zur Dissoziation von FKBP59 und Hsp90. Der ligandengebundene Steroidrezeptor kann nun in den Kern gelangen und ist an DNA gebunden am Aufbau eines Transkriptionkomplexes beteiligt. Es wird diskutiert, daß FKBP59 und die Hsp-Proteine zur Erhaltung der Konformation des nicht Liganden-gebundenen Steroidrezeptors benötigt werden (Pratt and Welsh, 1994, Sem. Cell Biol. 5: 83-93).

Vor wenigen Jahren wurden Immunophiline aus Pflanzenextrakten von Vicia faba über ihre Affinität zu FK506 und CyclosporinA isoliert (Luan et al., 1994, Proc. Natl. Acad. Sci. USA 91: 984-988). Dabei wurde auch ein FKBP12 isoliert, das hohe Sequenzhomologie zu FKBP12 aus Hefen und Tieren zeigt (zwischen 47%-51% Aminosäuresequenzidentität). In vitro zeigte dieses FKBP12 aus Vicia faba jedoch nur geringe Affinität zu Calzineurin, und in Hefen exprimiert vermittelte es nicht die Wirkung von FK506 und Rapamycin (Xu et al., 1998, Plant J. 15: 511-

519). In Vicia faba konnte injiziertes FK506 eine Calzium-abhängige Regulation von Kaliumkanälen in Schließzellen nur dann inhibieren, wenn humanes FKBP12 ebenfalls exogen verabreicht wurde (Luan et al., 1993, Proc. Natl. Acad. Sci. USA 90: 2202-2206), was ein Hinweis auf das Vorhandensein einer FKBP12-FK506 Signaltransduktionskette in Pflanzenzellen ist, ohne daß ein endogener Rezeptor für FK506 vorliegt.

5

10

15

20

25

30

In der Pflanzenzüchtung wird seit langer Zeit versucht, gewünschte Eigenschaften von Nutz- und Zierpflanzen zu verbessern. Bisher sind diese Verbesserungen durch sehr langfristige und kostenintensive Methoden der konventionellen Züchtung erzielt worden. Allerdings dauert die Entwicklung von neuen Pflanzensorten und Produkten oft 10 bis 15 Jahre. Eine alternative Strategie besteht darin, durch Nutzung genetischer Information wie "Marker gestützte Züchtung" und gentechnische Veränderungen, gezielt Pflanzen mit einer Verbesserung gewünschter Eigenschaften für Nutz- und Zierpflanzen bereitzustellen. Ein gewünschter Aspekt ist dabei die Erhöhung des Ertrags durch die Vergrößerung der Zahl oder des Volumens von erntebaren Samen (1000 Korn-Gewicht), die bei vielen Nutzpflanzen die ertragsbestimmenden Organe darstellen. Hierbei ist jedoch nicht nur die Vergrößerung der Parameter Zahl und Volumen gewünschtes Ziel, sondern auch die Vermeidung von Samenverlusten durch Samenfall vor der Ernte und die Reduzierung von Druschverlusten während der Ernte. Während der Samenreife, nach der Füllung der Samen mit Speicherstoffen, wird die Phase der Samenruhe eingeleitet. Diese Entwicklungsphase ist durch Trocknung der Samen-tragenden Organe z.B. Schoten oder andere Öffnungsfrüchte gekennzeichnet. Die Schoten platzen im Laufe dieser Phase entlang der Nähte des Organs auf, um die Verbreitung der Samen zu gewährleisten. In produktionstechnischer Hinsicht ist dieser für die Verbreitung der generativen Organe einer Pflanze wichtige Vorgang nicht erwünscht. Samen, die vor Beginn der Ernte durch Wettereinflüße wie Niederschlag oder Wind aus den Früchten gelöst werden, als auch Samen, die durch die mechanischen Manipulationen während des Erntevorgangs zu Boden fallen, müssen als Ernteverlust gewertet werden.

Die Veränderung der Gesamtarchitektur einer Pflanze mit dem Ziel der Reduktion des Sproßwachstums ist für Nutzpflanzen, deren Ertrag durch erntebare Fortpflanzungsorgane bestimmt wird, seit langer Zeit erklärtes Ziel der Züchtung. Zum einen besteht hierbei die Möglichkeit der Verschiebung der Verhältnisse der Biomasse von nicht ertragsrelevanten vegetativen Bereichen der Pflanze in ertragsbestimmende Ernteorganen. Zum anderen wird durch

10

15

20

25

die Verkürzung von Sproßbereichen die Festigkeit der Pflanze gegenüber Witterungseinflüßen erhöht. Diese Aspekte sind besonders bei der Züchtung von Getreidepflanzen von großer Wichtigkeit, da ein relevanter Teil des Ertragsverlustes durch Halmbruch (lodging) vor der Ernte ausgemacht wird. Der Ertrag von Getreiden ist in den letzten 50 Jahren erheblich gesteigert worden, wobei Zwergwuchs vermittelnde Mutationen, wie beispielsweise Rht1, Rht2, Rht3 in Weizen oder D8 und D9 in Mais, die in kommerziell genutzte Sorten eingekreuzt wurden, einen erheblichen Anteil an dieser Ertragssteigerung haben. Das Ergebnis dieser züchterischen Arbeit waren Linien, die bei Zugabe von Kunstdünger nicht mit Verlängerung des Halms, sondern mit der Erhöhung des Samenertrags reagierten (Silverstone und Sun, Trends in Plant Science 5: 1-2 (2000).

Ein verringerter Wuchs ist auch bei Zierpflanzen oft erwünscht. Hier ist besonders auf die Erzeugung von Bonsaigewächsen als auch verkleinerter Versionen vieler Zierpflanzen und Schnittblumen z.B. Sonnenblumen hingewiesen. In diesem Zusammenhang kann auch der verdrehte Wuchs wieder von Interesse sein, da Strauch- und Baumgewächse mit verdrehtem Wuchs z.B. Korkenzieherweiden oder Ficus im Zierpflanzenangebot zu finden sind. Bei der Produktion von Nutzholz kann ein verdrehtes Wachstum des Sproßes und der Verzweigungen erwünschte Eigenschaften hervorrufen. Bei Bäumen lässt sich einerseits durch Bildung von sogenanntem "Kompressionsholz" Holz mit veränderten Festigkeitseigenschaften und veränderten Erträgen gewinnen. Hierbei werden von Pflanzen mit stark lignifizierten Sproßorganen bei Veränderungen der vorgegebenen Wachstumsrichtung zur Entlastung von mechanischen Streß erhöhte Mengen an Kompressionsholz gebildet. Diese Eigenschaft kann bei der Produktion von Holz für die Papierherstellung genutzt werden. Holz, das als Bauholz oder zur Herstellung von Möbeln verwendet wird, kann durch verdrehtes Wachstum der erntebaren Sproßbereiche mit veränderter Festigkeit produziert werden, da hierbei Druck- und Zugfestigkeitseigenschaften der Sproßbereiche verändert sind. Fasern produzierende Pflanzen können durch das verdrehte Wachstum Pflanzenfasern mit neuen, erwünschten Eigenschaften der Verarbeitung und physikalischen Eigenschaften (Festigkeit etc.) hervorbringen.

30 Die hier genannten Aufgaben werden durch den Gegenstand der Patentansprüche gelöst.

Die Erfindung wird durch die nachfolgenden Figuren näher erläutert:

Figur 1 zeigt die genomische Sequenz des twisted dwarf Gens aus Arabidopsis thaliana, Ökotyp Wassilewskija, einschließlich des Promoterbereichs. Das Start- und Stop-Codon sind unterstrichen dargestellt. Exonsequenzen sind durch Fettdruck gekennzeichnet, Intronsequenzen sind kursiv gedruckt. Am Zeilenbeginn der Nukleotidsequenz sind die durchnummerierten Positionen angegeben. In den Zeilen unter der Nukleotidsequenz ist jeweils die Aminosäuresequenz des offenen Leserasters angegeben. Aminosäurepositionen sind am Zeilenende nummeriert.

Figur 2 zeigt eine Darstellung des Aminosäurevergleichs des twd-Gens aus Arabidopsis thaliana 10 (TWD) und Lycopersicon esculentum (TTP). Identische Aminosäuren sind durch einen senkrechten Strich, ähnliche Aminosäuren durch zwei Punkte verbunden.

Figur 3 zeigt eine Darstellung des Aminosäurevergleichs des twd-Gens aus Arabidopsis thaliana (TWD) und Zea mays (ZmTWD). Identische Aminosäuren sind durch einen senkrechten Strich, ähnliche Aminosäuren durch zwei Punkte verbunden.

Der hier verwendete Ausdruck "Vektor" bezeichnet natürlich vorkommende oder künstlich hergestellte Konstrukte zur Aufnahme, Vermehrung, Expression oder Übertragung von Nukleinsäuren, z.B. Plasmide, Phagemide, Cosmide, künstliche Chromosomen, Bakteriophagen, Viren, Retroviren.

Der hier verwendete Ausdruck "Derivate" bezeichnet Nukleinsäuresequenzen oder Aminosäuresequenzen, die eine oder mehrere Modifikationen wie Deletionen, Substitutionen, Additionen, Insertionen und/oder Inversionen aufweisen.

25

20

15

Der hier verwendete Ausdruck "Fragmente" bezeichnet Nukleinsäuresequenzen oder Aminosäuresequenzen, die einen Teilbereich der erfindungsgemäßen Nukleinsäuresequenzen oder Aminosäuresequenzen umfassen.

30 Der hier verwendete Ausdruck "transformierte Pflanzenzelle" bezeichnet Pflanzenzellen und aus ihnen hervorgegangene Pflanzen oder Pflanzenorgane, die durch Übertragung von Nukleinsäuren z.B. Plasmide, Phagemide, Cosmide, künstliche Chromosomen, Bakteriophagen, Viren, Retroviren oder Nukleinsäuresequenzen, die nicht in Vektorkonstrukte gefaßt wurden, genetisch

verändert wurden.

5

10

15

20

25

30

Der hier verwendete Ausdruck "Steuerelemente" bezeichnet Nukleinsäuresequenzen, die für die Regulation der Expression eines Gens dienen. Diese Nukleinsäuresequenzen beeinhalten sowohl Promotorbereiche eines Gens, als auch regulatorische Bereiche innerhalb der translatierten wie nicht-translatierten Regionen eines Gens.

Der hier verwendete Ausdruck "Hybridisierung oder "hybridisieren" bedeutet stringente und weniger stringente Bedingungen; vgl. Sambrook et al., Molecular Cloning, Cold Spring Harbour Laboratory (1989), ISBN 0-87969-309-6. Ein Beispiel für stringente Hybridisierungsbedingungen ist: Hybridisierung in 4 x SSC bei 65° C (alternativ in 50% Formamid und 4 X SSC bei 42° C), gefolgt von mehreren Waschschritten in 0,1 x SSC bei 65°C für insgesamt eine Stunde. Ein Beispiel für wenig stringente Hybridisierungsbedingungen ist Hybridisierung in 4 x SSC bei 37° C, gefolgt von mehreren Waschritten in 1 x SSC bei Raumtemperatur.

Der hier verwendete Ausdruck "homologe Sequenz" oder "homolog" bezeichnet eine Nukleinsäure- oder Proteinsequenze, die die Aktivität der Nukleinsäure- oder Proteinsequenzen gemäß SEQ ID NO:1, SEQ ID NO:2, SEQ ID NO:5 oder SEQ ID NO:7 aufweisen. Als homologe Sequenzen gelten ferner Nukleinsäuresequenzen, die mit der Sequenz gemäß SEQ ID NO:1, SEQ ID NO:2, SEQ ID NO:5 oder SEQ ID NO:7 oder Teilen dieser Sequenzen unter stringenten oder wenig stringenten Bedingungen hybridisieren. Als homologe Sequenzen sollen des weiteren Nukleinsäure- oder Proteinsequenzen oder Teile davon gelten, die unter Zuhilfenahme des Similaritätsalgorithmus BLAST (Basic Local Alignment Search Tool, Altschul et al., Journal of Molecular Biology 215, 403-410 (1990) (Matrix: Blosum 62, Gap existence cost: 11, Per residue gap cost:1) eine signifikante Ähnlichkeit mit den Nukleinsäure- und Aminosäuresequenzen der vorliegenden Erfindung aufweisen. Als signifikant ähnlich werden, wie hier verwendet, Sequenzen bezeichnet, die z.B. unter Verwendung von Standardparametern im Blast-Service des NCBI ein Signifikanzniveau (Probability) von P < 1e<sup>-30</sup> aufweisen, wenn Sie mit den Sequenzen gemäß SEQ ID NO:1 oder SEQ ID NO:2 oder Teilen davon verglichen werden.

Der hier verwendete Ausdruck "Marker gestützte Züchtung" bezeichnet die Selektion von

Pflanzen unter Verwendung genetischer Informationen und davon abgeleiteten molekularen Markern wie AFLP, RFLP, SNP etc. in Züchtungsprogrammen. Die erwähnten molekularen Marker repräsentieren alle Arten von Nukleinsäuresequenzveränderungen, die über diagnostische DNA-Analysen wie PCR, Restriktionsanalyse oder Hybridisierung nachgewiesen und zur Durchmusterung von Pflanzenpopulationen benutzt werden können.

5

10

15

20

25

30

Aus einer Population von Arabidopsis thaliana-Pflanzen, die durch T-DNA Insertion mutagenisiert wurden, konnte eine Mutante isoliert werden, die sich durch drastische Veränderung ihres Phänotyps auszeichnet. Die twisted dwarf-Mutante (im Nachfolgenden twd genannt) besitzt einen pleiotropen Phänotyp, dessen Ausprägung sich in der Pflanzenarchitektur und der Physiologie manifestiert. Die twd-Mutante ist in ihrer Gesamtgröße stark reduziert, zum Zeitpunkt der Seneszenz erreicht sie nur ein Drittel der Wildtyp-Gesamtgröße (ca. 25 cm). Die Mutante ist wie auch andere Arabidopsis-Zwergmutanten dunkler grün und wirkt aufgrund der verkürzten Infloreszenzen kompakt. Das Wachstum der Rosettenblätter zeichnet sich durch extrem epinastische Krümmung und eine unregelmäßige Oberfläche aus. An ausgebreiteten Rosettenblätter ist zu erkennen, daß das Verhältnis von Blattlänge zur Blattspreite kleiner ist als bei Wildtyp-Rosettenblättern. Die stark verkürzte Sproßachse der Infloreszenz besitzt einen größeren Durchmesser als Wildtyp-Pflanzen. Das desorientierte Wachstum der Sproßachse gibt der Mutante ein für Arabidopsis thaliana ungewöhnliches Aussehen, das an eine Rankenpflanze erinnert. Das desorientierte Wachstum der Pflanzenorgane ist auch in den Staubblättern und im Fruchtknoten zu beobachten.

Die DNA-Sequenzen des mutierten Gens wurden über die Methode des Plasmid-Rescue in E.coli aus der Mutante isoliert. Hierbei wird die Tatsache ausgenutzt, daß die zur Mutagenese verwendete T-DNA zwei Sequenzbereiche enthält, die Replikation und Selektion in E.coli-Zellen ermöglichen. Durch Spaltung von genomischer DNA der twd-Mutante mit geeigneten Restriktionsendonukleasen (hier EcoRI) wurden DNA-Fragmente erzeugt, die nach Selbstligation in transformationskompetente E.coli-Zellen eingebracht wurden. Die Selektion Plasmid-tragender Klone erfolgte über Resistenz gegen das Antibiotikum Ampicillin auf festen Nährmedien. Von diesen Klonen wurden DNA der transformierten Plasmide isoliert und über Spaltung mit Restriktionsendonukleasen Hybridisierung und nachfolgender mit Hybridisierungsproben der verwendeten T-DNA-Klone identifiziert, die neben T-DNA-Sequenzen auch DNA-Sequenzen des mutierten twd-Locus enthielten. Diese DNA-Sequenzen wurden isoliert und in den Vektor pBluescript(SK-)® (Stratagene, USA) subkloniert. Die inserierten DNS-Sequenzen wurden mit der Kettenabbruchmethode nach Sanger sequenziert. Zur nachfolgenden Isolierung von genomischen und cDNA-Klonen des twd-Gens aus Genbibliotheken wurden die klonierten DNA-Sequenzen als Hybridisierungssonden verwendet.

5

10

15

20

25

30

Die vorliegende Erfindung betrifft eine Nukleinsäuresequenz gemäß SEQ ID NO:1, SEQ ID NO:2, SEQ ID NO:5 oder SEQ ID NO:7 oder deren Fragment oder Derivat oder eine Nukleinsäuresequenz, die mit der Nukleinsäuresequenz gemäß SEQ ID NO:1, SEQ ID NO:2, SEQ ID NO:5 oder SEQ ID NO:7 hybridisiert und die biologische Aktivität der Nukleinsäuresequenz gemäß SEQ ID NO:1, SEQ ID NO:2, SEQ ID NO:5 oder SEQ ID NO:7 besitzt. Ferner betrifft die Erfindung eine Nukleinsäuresequenz, die mit der Nukleinsäuresequenz gemäß SEQ ID NO:1, SEQ ID NO:5 oder SEQ ID NO:7 unter stringenten Bedingungen hybridisiert. Die Nukleinsäuresequenz gemäß SEQ ID NO:1 stellt die genomische DNA-Sequenz, die Nukleinsäuresequenz gemäß SEQ ID NO:2 die cDNA-Sequenz des twisted dwarf-Gens aus Arabidopsis thaliana, SEQ ID NO:5 ein Fragment der cDNA-Sequenz des homologen twisted dwarf-Gens aus Lycopersicon esculentum, SEQ ID NO:7 ein Fragment der cDNA-Sequenz des homologen twisted dwarf-Gens aus Zea mays dar.

Ferner betrifft die Erfindung ein Polypeptid, umfassend eine Aminosäuresequenz gemäß SEQ ID NO:3, SEQ ID NO:4 oder SEQ ID NO:8. Die Aminosäuresequenz kann modifiziert sein, so daß die Aminosäuresequenz an einer oder mehreren Positionen Aminosäure-Additionen, -Deletionen oder -Insertionen aufweist. Die Aminosäuresequenz gemäß SEQ ID NO:3 stellt die Aminosäuresequenz des twisted dwarf-Proteins aus Arabidopsis thaliana, SEQ ID NO:6 die Aminosäuresequenz des Homologen twisted dwarf-Proteins aus Lycopersicon esculentum, SEQ ID NO:8 die Aminosäuresequenz des Homologen twisted dwarf-Proteins aus Zea mays dar.

Die vorliegende Erfindung betrifft Nukleinsäuresequenzen aus einem pflanzlichen Genom, insbesondere bevorzugt aus Arabidopsis thaliana, Zea mays oder Lycopersicon esculentum, die die Kodierregion eines FKBP-ähnlichen (FK506 bindendes Protein) Gens (twisted dwarf) enthalten, deren Aktivität die Ausprägung der Gesamtarchitektur der Pflanze insbes. Zellwachstum, Wachstumsorientierung, Verzweigungsgrad, etc. kontrolliert. Der Ausfall dieser Aktivität z.B. durch Mutation oder Deletion in einem pflanzlichen Genom führt zur Veränderung der Gesamtarchitektur der Pflanze durch Verringerung des Zellwachstums, Desorientierung des

WO 00/50598

Wachstums aller überirdischen wie unterirdischen Organe, Verringerung des Verzweigungsgrads des Sproßes, Veränderungen in der Reaktion auf Brassinosteroide und deren Vorstufen und Derivate, und die Veränderung der Reaktion der Wurzel auf gravitrope Reize durch die Veränderung von Ethylenproduktion und Ethylen-induzierte Signalweiterleitung. Die erfindungsgemäße Nukleinsäuresequenz kann in einen Vektor eingefügt werden, der zusätzlich ein oder mehrere Steuerelemente umfasst, die die Transkription und/oder Translation der erfindungsgemäßen Nukleinsäuresequenz steuern. Ferner betrifft die Erfindung Vektoren, z.B. Plasmide, und Wirtszellen, z.B. Hefen und Bakterien, umfassend die erfindungsgemäße Nukleinsäuresequenz.

PCT/DE00/00506

10

15

20

25

30

5

Weiterhin betrifft die Erfindung die Verwendung der erfindungsgemäßen Nukleinsäuresequenz zur Identifizierung und Isolierung homologer oder verwandter FKBP ähnlicher Gene und der daraus abgeleiteten Aminosäuresequenz aus anderen dikotylen und monokotylen Pflanzen durch Datenbankvergleiche, Hybridisierung oder durch PCR-Techniken, die allesamt dem Fachmann bekannt sind.

Zum Auffinden von homologen oder verwandten FKBP ähnlichen Genen aus anderen Pflanzen mittels eines Datenbankvergleichs können die erfindungsgemäßen Nukleinsäuresequenzen oder die davon abgeleiteten erfindungsgemäßen Polypeptidsequenzen in Datenbankvergleichen mit dem Similaritaetsalgorithmus BLAST (Basic Local Alignment Search Tool, Altschul et al., Journal of Molecular Biology 215, 403-410 (1990), blastn für Vergleiche mit Nukleinsäuresequenzen, tblastn für Vergleiche mit Polypeptidsequenzen) unter Verwendung von Standardparametern im Blast-Service des NCBI eingesetzt. Hierbei werden Gensequenzen mit einem Signifikanzniveau von P < 1e<sup>-30</sup>, die auch eine ähnliche Domänenstruktur wie die erfindungsgemäßen Nukleinsäuresequenzen oder die davon abgeleiteten Polypeptidsequenzen aufweisen, als homolog oder verwandt zum twd-Gen bezeichnet.

Die vorliegende Erfindung betrifft ferner ein Verfahren zur Herstellung von Pflanzen, umfassend das stabile Integrieren mindestens einer erfindungsgemäßen Nukleinsäuresequenz in das Genom von Pflanzenzellen oder Pflanzengeweben und Regeneration der erhaltenen Pflanzenzellen oder Pflanzengeweben zu Pflanzen. Bevorzugt betrifft die Erfindung ein Verfahren, wobei die integrierte Nukleinsäuresequenz ferner ein oder mehrere Steuerelemente umfasst, die die Transkription und/oder Translation der Nukleinsäuresequenz gewährleisten. Besonders

bevorzugt betrifft die Erfindung ein Verfahren, wobei die integrierte Nukleinsäuresequenz in Antisense-Orientierung exprimiert wird. Ferner besonders bevorzugt betrifft die Erfindung ein Verfahren, wobei die integrierte Nukleinsäuresequenz die Aktivität eines Ribozyms besitzt, das die biologische Aktivität der endogenen Nukleinsäuresequenz unterdrückt, die ein FKBP ähnliches Protein kodiert. Die erfindungsgemäße Nukleinsäuresequenz und gegebenenfalls ihre Steuerelemente können über homologe Rekombination in die genomische DNA der Zielzellen integriert werden. Die homologe Rekombination kann ferner so durchgeführt werden, daß die erfindungsgemäße Nukleinsäuresequenz in den genomischen Bereich des endogenen Gens, das ein FKBP ähnliches Protein kodiert, integriert wird.

10

15

20

5

Das erfindungsgemäße Verfahren ist dabei nicht auf eine bestimmte Pflanzenart begrenzt, sondern kann in allen Pflanzen angewendet werden. Bevorzugte Pflanzen sind z.B. Nutz- oder Zierpflanzen z.B. Getreide wie Weizen, Mais, Reis, Roggen oder Gerste, Leguminosen wie Erbse, Bohne, Kichererbse, Linsen oder Sojabohne, Brassicaceen wie Raps oder Senf, Faserpflanzen wie Flachs, Hanf oder Baumwolle, Bäume wie Fichte, Pappel, Buche, Eiche oder Nußholz, Ziersträucher, oder Nachtschattengewächse wie Tomate oder Kartoffel.

Die Erfindung betrifft ferner transformierte Pflanzenzellen oder transformiertes Pflanzengewebe, umfassend eine stabil in das Genom der Pflanzenzelle oder des Pflanzengewebes integrierte erfindungsgemäße Nukleinsäuresequenz. Bevorzugt sind transformierte Pflanzenzellen oder transformiertes Pflanzengewebe, die zu einer Samen-produzierenden Pflanze regenerierbar sind. Die Erfindung betrifft ferner transgene Pflanzen und deren Samen umfassend eine rekombinante erfindungsgemäße Nukleinsäuresequenz.

Die Erfindung betrifft ferner Mutanten z.B. in Arabidopsis thaliana, Zea mays oder Lycopersicon esculentum, in denen die endogene twisted dwarf DNA-Sequenz (FKBP-ähnliches (FK506 bindendes Protein) Gen) z.B. durch T-DNA Insertion oder durch Deletion oder Insertion verschieden großer DNA-Bereiche verändert wurde und die erwähnten phänotypischen Veränderungen aufweisen. Ferner betrifft die Erfindung transgene Pflanzen, bei denen mutierte

DNA-Sequenzen der angegebenen Gensequenz durch Einführung intakter Genkopien phänotypisch zum Wildtyp restauriert wurden.

Die erfindungsgemäße Nukleinsäuresequenz bzw. das erfindungsgemäße Verfahren kann verwendet werden, um transgene Pflanzen mit einem veränderten, d.h. desorientierten, Wachstum herzustellen. Das desorientierte Wachstum manifestiert sich in einer Veränderung der Struktur von Zellwänden und intrazellulären Stütz- und Formelementen (z. B. Cytoskelett). Solche Veränderungen können für die Herstellung von Pflanzen verwendet werden, die zur Produktion von Faserstoffen und anderen Materialien verwendet werden, die neue, veränderte Materialeigenschaften haben. Durch das verdrehte Wachstum von lignifizierten Stützorganen z.B. bei Bäumen lässt sich auf der einen Seite durch Bildung von sogenanntem "Kompressionsholz" Holz mit veränderten Festigkeitseigenschaften und eventuell veränderten Erträgen gewinnen. Fasem produzierende Pflanzen können durch das verdrehte Wachstum Pflanzenfasern mit neuen, erwünschten Eigenschaften der Verarbeitung und physikalischen Eigenschaften (Festigkeit etc.) hervorbringen.

Ein weiterer Aspekt des verdrehten Wachstums betrifft die Verdrehung der Wachstumsrichtung um die Längsachse von Öffnungsfrüchten z.B. Schoten von Nutzpflanzen. Dieses Wachstum hat ein reduziertes spontanes Aufplatzen der Öffnungsfrüchte zum Zeitpunkt der Samenreife zur Folge. Zum Zeitpunkt der Samenreife, nach der Füllung der Samen mit Speicherstoffen, wird die Phase der Samenruhe eingeleitet, die durch Trocknung und Aufplatzen der Öffnungsfrüchte zur Verbreitung der Samen gekennzeichnet ist. Ein verdrehtes Wachstum der Öffnungsfrüchte z.B. Schoten verhindert die vollständige Öffnung der Schote und führt somit zu reduziertem Samenfall. Hiermit werden Druschverluste bei der mechanischen Manipulation während des Erntevorgangs und Ernteverluste durch ungewollten vorzeitigen Samenfall reduziert. Diese Eigenschaften sind besonders bei allen Nutzpflanzen mit erntebaren Öffnungsfrüchten z.B. Soja, Raps, Senf oder Leguminosen aller Art nützlich.

25

30

5

10

15

20

Es konnte ferner gezeigt werden, daß die erfindungsgemäße Nukleinsäuresequenz nicht nur für die Wachstumsrichtung sondern auch für die Größe der Pflanze an sich verantwortlich ist. Somit betrifft die vorliegende Erfindung auch transgene Pflanzen, die einen verkleinerten Habitus gegenüber ihren Wildtyp-Pflanzen besitzen. Zum einen gilt das für alle Getreide wie beispielsweise Weizen, Mais, Reis, Roggen, Gerste etc., die durch Halmverkürzung zum einen höhere Stabilität während des Wachstums und der Ernte und damit verringerten Halmbruch z.B. bei Niederschlägen und Wind, als auch eine höhere Produktion von Biomasse in den erntebaren Organen aufweisen. Ferner ist verringerter Wuchs auch bei Zierpflanzen oft erwünscht. Hier ist besonders auf die Erzeugung von Bonsaigewächsen als auch verkleinerter Versionen vieler

Zierpflanzen und Schnittblumen z.B. Sonnenblumen hingewiesen. In diesem Zusammenhang kann auch der verdrehte Wuchs zusätzlich von Interesse sein, da Strauch- und Baumgewächse mit verdrehtem Wuchs z.B. Korkenzieherweiden oder Ficus im Zierpflanzenangebot zu finden sind.

5

10

15

20

25

30

Die Schote ist, wie die Blüte, in ihrer Gesamtlänge geringer reduziert als die übrigen Organe, der Blütenstil ist jedoch stark verkürzt. Die Samen der twisted dwarf-Mutante zeigen auffälligerweise nicht die starke Größenreduzierung der anderen Pflanzenorgane. Im Vergleich zu Wildtypsamen ist bei Samen von twisted dwarf Mutanten sogar ein größeres Volumen festzustellen. Ferner betrifft die vorliegende Erfindung somit eine Erhöhung des Gesamterntegewichts von samentragenden Pflanzen. So konnte gezeigt werden, daß die durchschnittliche Anzahl der Samen pro Schote bei twd-Mutanten von Arabidopsis thaliana (20) auf ca. ein Drittel der Anzahl einer entsprechenden Wildtyp-Pflanze (57) reduziert ist. Die Zahl der Schoten an einer Pflanze war jedoch bei twd-Mutanten (417) gegenüber dem Wildtyp (136) erheblich erhöht. Daher ergibt sich für die durchschnittliche Gesamtzahl an geernteten Samen pro Pflanze für twd-Mutanten ein um ca. 10% erhöhter Ertrag an Samen. Die Dimensionen der Samen zeigen bei twd-Mutanten und entsprechenden Wildtyp-Pflanzen ebenfalls erhebliche Unterschiede. Abschätzungen der Samenvolumina nach Leon-Klosterziel et al., Plant Cell 6: 385-392 (1994) zeigen für Samen von twd-Pflanzen ein um ca. 50% vergrößertes Volumen. Diese Eigenschaften sind besonders bei allen Nutzpflanzen mit erntebaren Schoten z.B. Soja, Raps, Senf oder Leguminosen aller Art nützlich.

Unabhängig von der unterschiedlich ausgeprägten Größenreduktion einzelner Pflanzenorgane ist das unregelmäßige und desorientierte Wachstum in allen Pflanzenorganen einschließlich der Wurzel von Arabidopsis thaliana beobachtet worden. Die twisted dwarf-Mutation führt neben Veränderungen des Wachstums auch zu einer verlangsamten Entwicklung der Pflanze. Dies zeigt sich in einem verlängertem Lebenszyklus der twisted dwarf-Mutante im Vergleich zum Wildtyp. Nach etwa 6 Wochen unter Langtagbedingungen (Lichtphase mind. 16 Stunden) setzt die Seneszenz beim Wildtyp ein. Der Lebenszyklus der twisted dwarf Mutante ist unter Langtagbedingungen um etwa eine Woche verlängert, unter Kurztagbedingungen (Lichtphase maximal 9 Stunden) sind es ca. drei Wochen. Durch den Defekt im twd-Gen ist eine Verlängerung der vegetativen Lebensphase um 5 Tage (ca. 20% längere vegetative Phase) der Mutanten zu beobachten. Dieser Umstand lässt sich für die Produktion von Pflanzen ausnutzen,

bei denen eine Verzögerung des Eintretens in die generative Phase und ein verzögertes Eintreten der Seneszenz gewünscht ist, z.B. bei Zierpflanzen.

Die verminderte Gesamtgröße der twisted dwarf-Mutante ist durch eine Verkürzung der Zellen verursacht. Epidermiszellen von primären Infloreszenzen des Wildtyps und der twisted dwarf-Mutante, die mit einer Pinzette abgelöst und anschließend mit Safranin-Rot angefärbt wurden, zeigen eine Verkürzung der Zellen aus der twisted dwarf Mutante auf ca. 33%. Sprühversuche von auf Erde wachsenden twisted dwarf-Mutanten mit 10<sup>-7</sup> M des Brassinosteroids Brassinolid zeigten ein verstärktes Streckungswachstum gegenüber Kontrollexperimenten. Wurden jedoch Doppelmutanten von twisted dwarf und der Campesterol-Reduktase-Mutante det2, die eine Zwergmutante von Arabidopsis thaliana darstellt, die durch exogene Applikation von Brassinosteroiden zum Wildtyp komplementiert werden kann, mit 10<sup>-7</sup> M Brassinolid gesprüht, war bei diesen Pflanzen, die extremen Zwergwuchs aufweisen, keinerlei Reaktion auf die Brassinolidgaben festzustellen. Dieses Ergebnis zeigt daher, daß es sich bei der twisted dwarf-Mutante um eine Pflanze handelt, die an der Rezeption oder der Signalweiterleitung der Brassinosteroidantwort in Pflanzen beteiligt ist. Zum einen lassen sich durch Herstellung solcher Mutanten, Pflanzen mit reduzierten Wuchs als Zierpflanzen oder andere Nutzpflanzen gezielt herstellen. Zum anderen können solche Pflanzen als Modelle zur Untersuchung der Steroidhormonwirkung verwendet werden.

20

25

30

5

10

15

Die offensichtliche Beteiligung an der Brassinosteroid-Signalrezeption und -Signalverarbeitung des TWD-Genprodukts ermöglicht es, Pflanzen zu erzeugen, die durch Veränderung des TWD-Genprodukts selbst oder der Menge an TWD-Genprodukt, über die Reaktion gegenüber dem Pflanzenwuchsstoff Brassinosteroid und seinen Derivaten in Habitus, Lebenszyklus, Ertrag etc. beeinflußbar sind. Es ist dadurch auch möglich, Modellsysteme für Untersuchungen der Wirkweise von Brassinosteroid und seinen Derivaten in Nutzpflanzen zu schaffen, die zur Entwicklung von spezifischen Wuchsstoffen und Effektoren führen.

Das desorientierte Wachstum der twisted dwarf-Mutante führte zu der Frage, ob die Mutante in der Lage ist ein gerichtetes, asymmetrisches Wachstum als Reaktion auf einen unidirektionalen Reiz (Tropismus) auszuführen. Die oberirdischen Pflanzenorgane reagierten wie der Wildtyp mit positivem Phototropismus und mit negativem Gravitropismus. Der Wurzelgravitropismus der Mutante twisted dwarf und des Wildtyps wurde anhand der Anzucht von Keimlingen auf vertikal

positionierten Agarplatten verfolgt. Die vertikale Umorientierung der Platten nach 7 Tagen um 90° führte zu einer Änderung der Wachstumsrichtung deren Winkel nach weiteren 5 Tagen gemessen wurde. Ein Krümmungswinkel zwischen 80°-100° wurde als gravitrop definiert (Yamamoto and Yamamoto, 1998, Plant Cell Physiol. 39: 660-664). Von Keimlingen der Mutante twisted dwarf zeigten nur 27% der Wurzeln ein gravitropes Wachstum. Die restlichen 73% zeigten ein agravitropes Wachstums. Die Wurzeln von Wildtyp-Keimlingen führten alle eine Änderung der Wachstumsrichtung um ca. 90° aus, was einem positiv-gravitropen Wachstum entspricht. Ein agravitropes Wurzelwachstum wurde auch in den Mutanten eirl (Luschnig et al., 1998, Genes Dev. 12: 2175-2187) und aux1 (Maher and Martindale, 1980, Biochem. Genet. 18: 1041-1053) beobachtet. Diese Mutanten sind exogenen Applikationen von Ethylen gegenüber insensitiv. Um die Ethylensensitivität der twisted dwarf-Mutante zu untersuchen, wurden Keimlinge unter den gleichen Bedingungen wie für die Kontrolle beschrieben inkubiert, nur wurden der Luft 10 ppm Ethylen zugesetzt. Zunächst wurde die twisted dwarf-Mutante auf ihren Phänotyp hin untersucht. Die erhöhte Ethylenkonzentration verursachte phänotypische Veränderungen zu denen eine Verkürzung der Wurzel, eine Zunahme des Hypokotylumfangs und eine Verkleinerung der Blattspreite gehören. Diese Veränderungen wurden im Wildtyp und in der twisted dwarf-Mutante gleichermaßen beobachtet. Auffällig war, daß die Wurzeln von twisted dwarf-Mutanten, die unter erhöhter Ethylenkonzentration gewachsen waren, alle ein gravitropes Wachstum zeigten, das dem des Wildtyps entsprach. Ethylenkonzentration konnte jedoch keine weiteren Eigenschaften des twisted dwarf-Phänotyps revertieren. Die Messung der Krümmungswinkel zeigte, daß alle Wurzeln der twisted dwarf-Mutanten, die unter 10 ppm Ethylen angezogen worden waren, gravitrop wuchsen, jedoch nur 27% der unter Luft gewachsen twisted dwarf-Wurzeln einen normalen Gravitropismus zeigten. Die Wurzeln von Wildtyp-Keimlingen wuchsen unter beiden Bedingungen gravitrop.

25

30

20

10

15

Um zu überprüfen, ob der Wurzelgravitropismus der twisted dwarf-Mutante durch die Wirkung des Phytohormons Ethylen korrigiert wurde, wurde der Einfluß von Inhibitoren der Ethylenbiosynthese und von Inhibitoren der Ethylenwirkung auf den Wurzelgravitropismus von twisted dwarf- und Wildtyp-Keimlingen untersucht. Es wurde der gleiche Versuch wie oben beschrieben durchgeführt, allerdings mit dem Zusatz von Silbernitrat im Arabidopsis-Medium, einem Inhibitor der Ethylenwirkung. Eine Konzentration von 1 µM Silbernitrat im Wachstumsmedium und 10 ppm Ethylen in der Wachstumskammer führten bei den Wurzeln der twisted dwarf-Mutante verstärkt zu agravitropem Wachstum. Dieser Effekt wurde für Wildtyp-

Aminoethoxyvinylglycin (AVG), Pflanzen nicht festgestellt. das die endogene Ethylenbiosynthese hemmt, führte in einer Konzentration von 1  $\mu M$  dazu, daß nur 12% der Wurzeln von twisted dwarf-Mutanten gravitrop wuchsen. Bei diesem Versuch waren unter Kontrollbedingungen (Luft) 35% der Wurzeln von twisted dwarf-Mutanten gravitrop gewachsen. Unter Zusatz von 1 µM AVG zeigten jedoch auch 41% der Wurzeln von Wildtyp-Pflanzen ein agravitropes Wachstum. Ethylen ist für den Wurzelgravitropismus von Bedeutung, da die Hemmung der endogenen Ethylensynthese auch bei Wildtypwurzeln zum agravitropen Verhalten führt. Mutanten von twisted dwarf in Arabidopsis thaliana oder Lycopersicon esculentum und anderen Pflanzen können zur Herstellung von Pflanzen und Pflanzenorganen dienen, die eine verringerte Menge an Ethylen produzieren oder akkumulieren. Dieser Effekt lässt sich gezielt bei der Beeinflußung der Frucht-und Samenreifung, sowie der Verlängerung und Kontrolle der Blühphase von Zier- und Nutzpflanzen einsetzen, da diese Prozesse durch die Menge an Ethylen in den entsprechenden Organen bzw. Pflanzen kontrolliert werden.

5

10

25

30

Da der Gravitropismus der Wurzel in twd-Mutanten unter normalen Wachstumsbedingungen stark reduziert ist und nur bei exogener Zugabe des gasförmigen Phytohormons Ethylen rekonstituiert wird, lässt sich über diese Eigenschaft die Ausprägung des Wurzelgravitropismus einfach regulieren. Hierdurch wird die Verankerung der Wurzel im Erdreich beeinflußt, was Auswirkungen auf die Festigkeit von bodenbedeckenden Pflanzen, sowie generell die Verankerung von Nutzpflanzen im Substrat hat. Die Induktion des Wurzelgravitropismus ist durch Ethylen zu beliebigen Zeitpunkten der Entwicklung einleitbar. Diese Tatsache lässt sich auch ausnutzen, andere Entwicklungsprozesse der Pflanze durch Ethylen zu regulieren.

Da es sich bei *twd* um eine Mutante in einem FK506 bindenden Protein handelt, lassen sich diese Pflanzen als nicht-tierische Modelle für Untersuchungen an entsprechenden Immunsuppressiva (besonders FK506 (Tacrolimus), Rapamycin, Cyclosporin A und weiterer Substanzen mit ähnlicher Wirkung) sowie Prozessen der Signalvermittlung der Wirkung von Immunsuppressiva, in der Pharmaforschung einsetzen. Hierbei können neue, pflanzenspezifische zelluläre Interaktionen und Wirkmechanismen studiert werden, die in der Form in tierischen Systemen nicht vorhanden sind. Unter anderem lassen sich so an FKBPs verarmte Modelle entwickeln, in denen die Wirkung nicht nur von immunsuppressiven Substanzen sondern auch genetisch modifizierter Liganden für diese Substanzen testen lassen.

Der Vergleich der abgeleiteten Aminosäuresequenz des offenen. Leserasters der twisted dwarf cDNA in den aktuellen Sequenzdatenbanken zeigt eine Sequenzidentität von 30-33% und eine Sequenzähnlichkeit von 43-53% zu FKBPs aus Menschen, Tieren und anderen Pflanzen (PILEUP, Genetic Computer Group, Wisconsin Package Version 9.1-Unix, Sept.1997 (Gap creation penalty: 5; gap extension pealty: 1)). Das abgeleitete twisted dwarf Peptid weist bei den für eine FK506 Interaktion 14 identifizierten Aminosäurepositionen in vier Fällen identische und in weiteren vier Fällen konservierte Aminosäurenaustausche auf. Im C-terminalen Bereich des Peptids ist eine dreifache Wiederholung eines TPR-Motivs zu finden. Für diese Motive ist in tierischen Systemen eine Interaktion mit Hsp90 mit FKBPs nachgewiesen worden (Callebaut et al., 1992, Proc. Natl. Acad. Sci. USA 89: 6270-6274). Pflanzliche Mutanten dieser Klasse von Proteingenen lassen sich als nicht tierische Modellsysteme für das Studium der Wirkung und Signalweiterleitung von Immunophilinen entwickeln.

Die folgenden Ausführungsbeispiele dienen der Erläuterung der Erfindung und sind nicht als einschränkend aufzufassen.

#### I. Allgemeine Methoden

10

20

25

## 1. Klonierungsverfahren

Zur Klonierung wurden der Phagenvektor Lambda ZipLox und das daraus abgeleitete Plasmid PZL-1 (Newman et al., 1994, Plant Phys. 106: 1241-1255) sowie das Phagemid pBluescript (pBS) (Short et al., 1988, Nucl. Acids Res. 16: 7583-7600) verwendet. Zur Expression in *E.coli* wurde der Expressionsvektor pET3-His (Novagen) verwendet. Für die Transformation von Hefen wurden die Vektoren pAS1 und pACT2 (Clontech, Matchmaker 2-Hybrid System) und pRS314 (Sikorski und Hieter, 1989, Genetics 122: 19-27) verwendet. Für die Pflanzentransformation wurden die Genkonstruktionen in pRT-W NotI (Überlacker and Werr, 1996, Mol. Breeding 2: 293-295) und in den binären Vektor pGPTV-Bar (Becker et al., 1992, Plant Mol Biol. 20: 1195-1197) kloniert.

#### 2. Bakterien- und Hefestämme

Für den pBluescript KS (pBS) Vektor, das Plasmid pZL-1 sowie für pAS1, pACT2 und pGPTV Konstrukte wurde der E.coli-Stamm DH5α (Hanahan et al., 1983, J. Mol. Biol. 166: 557-580) verwendet. Die Expression des twisted dwarf Proteins erfolgte im E.coli-Stamm Bl21 (Studier und Moffat, 1986). Die Transformation der pGPTV-Konstrukte in Arabidopsis-Pflanzen wurde

mit Hilfe des Agrobacterium tumefaciens-Stammes GV3101:pMP90 (Koncz und Schell, 1990, Mol. Gen. Genet. 204: 383-396) durchgeführt. Die Transformation von 2-Hybridkonstrukten erfolgte in den Hefestamm Y190.

#### 5 3. Transformation von Agrobacterium tumefaciens

Der Transfer der DNA in Agrobakterien erfolgte durch direkte Transformation mit nackter DNA nach Höfgen und Willmitzer (1988, Nucl. Acids Res. 16: 9877). Die Plasmid-DNA transformierter Agrobakterien wurde nach der Methode von Birnboim und Doly (1979, Nucl. Acids Res. 7: 1513-1523) isoliert und nach geeigneter Restriktionsspaltung gelelektrophoretisch auf Korrektheit und Orientierung der inserierten DNA überprüft.

#### 4. Pflanzentransformation

10

15

20

25

30

Mit einer positiven Kolonie wurden 150 ml antibiotikahaltiges YEB-Medium angeimpft und 2 Tage bei 28°C geschüttelt. Mit 10-15 ml dieser Vorkultur wurden 500 ml antibiotikahaltiges YEB-Medium angeimpft. Diese Kultur wurde über Nacht bei 28°C auf dem Schüttler inkubiert und am nächsten Tag 15 min bei 4.000 rpm abzentrifugiert. Die sedimentierten Bakterien wurden in Infiltrationsmedium aufgenommen. Die Konzentration der Suspension wurde per Trübungsmessung bestimmt und auf eine OD600 (optische Dichte) zwischen 0,8 und 1,2 eingestellt. In einen Vakuumexikator wurden 400 ml mit Agrobakteriensuspension gefüllte Plastik-Bechergläser gestellt. Töpfe mit Arabidopsis-Pflanzen wurden umgedreht auf die Bechergläser gestellt, so daß die Infloreszenzen der Pflanzen in die Agrobakteriensuspension hineintauchten. Es wurde ein Vakuum von 10-30 mbar für 15 min angelegt und anschließend der Vakuumexikator zügig belüftet. Eine Bakteriensuspension wurde für bis zu vier aufeinanderfolgende Infiltrationen verwendet. Danach wurden die Pflanzen weiter bis zum Abreifen der Schoten unter Langtagbedingungen (16 Stunden Licht/8 Stunden Dunkelheit) gehalten. Die 10 Pflanzen eines Topfes wurden in zwei Tüten (2 Pools) zu je 5 Pflanzen zum Sammeln der Samen eingetütet, wenn die ältesten Schoten der Pflanzen reif waren. Die gut getrockneten Samen konnten für eine Selektion mit BASTA® (Aventis CropScience, S.A., Lyon Frankreich) direkt auf Erde ausgesät werden.

Die Aussaat erfolgte nach Pools getrennt in großen Schalen. Das erste Sprühen der Keimlinge mit BASTA®-Lösung erfolgte, wenn die Keimblätter voll entwickelt waren. Die Keimlinge wurden in den darauffolgenden 6 Tagen noch 1-2 mal mit BASTA® gesprüht. Nicht BASTA®-

resistente Keimlinge blichen noch im Keimblattstadium aus und entwickelten sich nicht weiter. Die resistenten Keimlinge wurden bis zur Samenreife weiter wachsen gelassen und die Samen dieser Pflanzen einzeln abgeerntet.

## 5 <u>II. Ausführungsbeispiele</u>

Ausführungsbeispiel 1: Isolation des FKBP ähnlichen twisted dwarf Gens aus T-DNA getaggten Insertionslinien von *Arabidopsis thaliana* mittels Plasmid-Rescue und Isolierung von Vollängen cDNA- und genomischen Klonen aus Genbibliotheken.

10

15

Aus einer mittels T-DNA transformierten *Arabidopsis thaliana*-Linie (Feldmann, 1991, Plant J. 1:71-82; Forsthoefel et al., 1992, Aust. J. Plant Physiol. 19: 353-366) wurde über Plasmid-Rescue (Schulz et al., 1995, Plant Mol. Biol. Manual, pp 1-17) eine 200 bp lange die T-DNA Insertion flankierende DNA Sequenz des twisted dwarf Gens isoliert. Radioaktiv markierte Proben, die aus den bei der Plasmid-Rescue gewonnenen Plasmiden (Klon pBUB 52) hergestellt wurden, wurden zum Screenen der CD4-7 IPRL-2 cDNA-Bibliothek (Newman et al., 1994, Plant Phys. 106: 1241-1255) und der CD4-11 genomischen Cosmid-Bibliothek (Schulz et al., 1995, Plant Mol. Biol. Manual, pp 1-17) eingesetzt. Ca. 200 000 Klone der cDNA-Bibliothek wurden mit diesen Hybridisierungsproben gescreent. Aus einem positiv reagierenden I-Klon wurde über *in-vivo*-Excision ein Plasmid isoliert und durch Bestimmung der DNA-Sequenz (Didesoxymethode: Sanger et al., 1977, Proc. Natl. Acad. Sci. USA 74: 5463-5467) analysiert. Aus dieser DNA-Sequenz wurde die Primärstruktur des twisted dwarf Proteins abgeleitet (Klon pBUB 65). Die cDNA wurde anschließend benutzt, um einen genomischen Klon aus der Cosmid-Bibliothek zu isolieren.

25

20

Ausführungsbeispiel 2: Expression von twisted dwarf Peptiden in *E.coli*, Reinigung der Proteine und Gewinnung von Antiseren gegen das Protein in Kaninchen

Partielle cDNA-Sequenzen, die für die Aminosäurepositionen 1-324 und 1-187 kodieren, wurden über PCR amplifiziert und nach Spaltung mit BamHI und XhoII in das Leseraster der His-Tag-Sequenz des mit BamHI linearisierten Vektors pET3 ligiert. Kompetente Bl21-Zellen wurden mit den Ligationen transformiert und die Expression der Peptide nach Induktion mit IPTG in Rohextrakten auf Laemmli-Gelen nachgewiesen. Die Fusionspeptide mit dem His-Tag wurden

über Ni-NTA-Agarose (Novagen) gereinigt. Die apparenten Molekulargewichte wurden nach Vergleich mit Größenmarkern als 33 kDa für das Peptid, das den Bereich von Position 1-187 umspannt und als 44kDa für das Peptid des Bereichs von Position 1-324 bestimmt. Zur Immunisierung von Kaninchen wurden das aufgereinigte Peptid (Pos. 1-187) über ein präparatives SDS-PAGE-Gel gereinigt. Die Proteinbande wurde durch Färbung des Gels mit Cu2+-Ionen identifiziert, ausgeschnitten und zermörsert. Das zerkleinerte Gel wurde in Puffer aufgenommen und zur Immunisierung von Kaninchen von der Firma BioGenes (Berlin) eingesetzt. Nach der ersten Immunisierung erfolgten zwei weitere Booster-Immunisierungen, bevor Antiseren gegen das twisted dwarf Protein durch Blutungen der Tiere gewonnen wurden. Die Erkennung des twisted dwarf Proteins durch das Antiserum wurde in Immunoblot-Experimenten getestet.

PCT/DE00/00506

Ausführungsbeispiel 3: Transformation von mutierten Arabidopsis thaliana Pflanzen mit einer Konstruktion zur Überexpression der Kodierregion des twisted dwarf Proteins

15

20

25

5

10

Zur Komplementation von twisted dwarf-Mutanten (twisted dwarf1-1, twisted dwarf1-3, twisted dwarf1-4) wurde das offene Leseraster des twisted dwarf-Gens anhand von PCR aus dem Plasmid BUB65 amplifiziert und nach BamHI/BglII Spaltung in die BamHI-Schnittstelle des Vektors pRT- $\Omega$  NotI kloniert. Der pRT- $\Omega$  NotI besitzt vor der BamHI-Restriktionssequenz einen CaMV 35S Promotor sowie eine  $\Omega$ -Sequenz aus dem Tabak-Mosaik-Virus, welche die Translation von verschiedenen Reportergenen in Pflanzen 2-10fach erhöhen kann (Gallie et al., 1989, Plant Cell 1: 301-311). Ein Polyadenylierungssignal aus dem Blumenkohlmosaikvirus befand sich hinter der BamHI-Restriktionssequenz. Die Sequenzierung des Inserts zeigte, daß die klonierte twisted dwarf-cDNA-Sequenz keine Sequenzveränderungen aufwies. Die Kassette wurde mit dem Restriktionsenzym AscI aus dem pRT- $\Omega$  NotI herausgespalten und nach Auffüllen der überhängenden Enden durch Klenow-Polymerase in die ebenfalls aufgefüllte HindIII-Restriktionsstelle des binären Pflanzenvektors pGPTV-BAR ligiert. Das uidA-Leseraster war zuvor aus dem pGPTV-BAR durch eine Smal/EcoRI Spaltung deletiert worden.

Die Transformation von twisted dwarf-Mutanten anhand einer Vakuuminfiltration von Blüten erfolgte mit den binären Vektoren unter Verwendung des Agrobakterienstamms GV3101 pMP90. Transgene Arabidopsis thaliana-Pflanzen wurden wie beschrieben auf Herbizidresistenz selektioniert und phänotypisch analysiert. Das Vorhandensein und die Struktur der

30

transformierten Konstrukte in den transgenen Pflanzen wurde über DNA-Gelblot Analyse festgestellt. Alle mit der Gensequenz des intakten twisted dwarf Gens transformierten Mutantenpflanzen zeigten eine Reversion des Phänotyps zum Wildtyp.

5 Ausführungsbeispiel 4: Sequenzanalyse verschiedener mutierter twisted dwarf Allele in Arabidopsis thaliana-Mutanten

Weitere Arabidopsis thaliana-Mutanten, die den Phänotyp der twisted dwarf-Mutante aufwiesen, wurden aus verschiedenen mutagenisierten Populationen isoliert. Über eine Kreuzungsanalyse mit der durch T-DNA-Insertion generierten Mutante konnte gezeigt werden, daß die verschiedenen Mutanten Allele des gleichen Gens darstellen. Über ein DNA-Gelblot-Experiment konnte für zwei der Mutanten ein Restriktionsfragment-Längenpolymorphismus (RFLP) gezeigt werden.

Zur genaueren Analyse der twisted dwarf-Mutanten wurden PCR-Produkte der mutierten Allele 15 des Gens sequenziert und mit der Wildtyp-Sequenz verglichen. Die T-DNA Insertion im twisted dwarf-Allel 1-1 liegt im fünften Exon an Position +1484. Eine Deletion von 593 Bp von Position -122 bis +471 führte in der Mutante twisted dwarf1-3 zum Verlust eines Teils des Promotors, des Transkriptionsstarts sowie der ersten 35 Bp des offenen Leserasters. Die Verkürzung eines EcoRI-Fragments von etwa 600 Bp war schon in einem DNA-Gelblot-Experiment beobachtet 20 worden. Eine Nukleotidinsertion im dritten Exon an Position +823 und ein Nukleotidaustausch von Adenin zu Guanin an der Position +829 sind in der Mutante twisted dwarf1-4 identifiziert worden. Der Nukleotideinschub verursacht eine Leserasterverschiebung und führt dadurch zu einem Translationsstop nach 85 Aminosäuren. Bei allen twisted dwarf-Allelen handelt es sich um sogenannte Nullallele, die kein funktionelles Genprodukt mehr hervorbringen können. Alle 25 untersuchten twisted dwarf-Mutanten zeigen die gleiche Ausprägung des oben beschriebenen twisted dwarf-Phänotyps.

Ausführungsbeispiel 5: Identifizierung von Homologen des twd-Gens aus anderen Pflanzenarten.

1. Identifizierung des twd-Homologen aus Lycopersicon esculentum

Zur Amplifikation und nachfolgenden Identifikation von Homologen des twd-Gens aus anderen Pflanzen wurden die Oligonukleotide twd-S und twd-A als PCR-Primer aus der Gensequenz des

twd-Gens abgeleitet. Mittels dieser Oligonukleotide wurde in einer PCR unter folgenden Bedingungen auf DNA einer cDNA-Bank von Tomate (*Lycopersicon esculentum*) Sequenzen des *twd*-Homologs aus Tomate isoliert:

5 1 x 94°C 2 min

dann 35 Zyklen:

94°C 1 min

58°C 1 min

72°C 2 min

20

25

30

dann 4°C bis zur Entnahme aus der PCR-Maschine.

Sequenz des Primers twd-S:

5' -CT(C/T) (G/T)TG C(A/T)T GT(G/T) (G/T)GC TGG GAA TTA G-3'

Sequenz des Primers twd-A:

15 5' -CCA TCC ATT TT(C/T) CTT CT(A/G) T(G/C)T GCT GC-3'

Das erhaltene PCR-Produkt (SEQ ID NO:4) wurde in den Vektor pGEM-T easy® (Promega) kloniert und durch Kettenabbruchmethode nach Sanger sequenziert. Mit Hilfe der Sequenzen der EST-Klone AW038756, AI895686, AW441601, AW222544 aus Tomate (Lycopersicon esculentum) (GenBank online, Release <115). die Zuhilfenahme unter des Similaritätsalgorithmus BLAST (Basic Local Alignment Search Tool, Altschul et al., Journal of Molecular Biology 215, 403-410 (1990) (tblastn, cutoff für P value: 6e<sup>-26</sup>, Matrix: Blosum 62, Gap existence cost: 11, Per residue gap cost:1) mit der Aminosäuresequenz des Arabidopsis TWD-Proteins gefunden wurde, konnte ein cDNA Contig über insgesamt 1142 Basenpaare zusammengestellt werden (TomTWDContig; SEQ  ${
m I\!D}$ NO:5). Der Bereich Sequenzüberlappungen der EST-Klone mit dem Klon TomTWD umspannt die Nukleotid-Positionen 1 bis 95 von TomTWD mit AW441601 und 121 bis 140 von TomTWD mit AW222544. Die Translation des längsten offenen Leserasters der Nukleotidsequenz von TomTWDContig in Aminosäuren ergibt ein durchlaufendes Peptid (TTP) mit einer Länge von 320 Aminosäuren (SEQ ID NO:6). Die Identität zum TWD Protein aus Arabidopsis beträgt 74,1%, die Ähnlichkeit 85,3% zu den Aminosäurepositionen 1 bis 316 des TWD Proteins aus Arabidopsis.

10

## 2. Identifizierung des twd-Homologen aus Zea mays

Mit Hilfe der Sequenzen der EST-Klone AW216068 und AW171820 aus *Zea mays* (GenBank online, Release <115), die unter Zuhilfenahme des Similaritätsalgorithmus BLAST (Basic Local Alignment Search Tool, Altschul et al., Journal of Molecular Biology 215, 403-410 (1990), tblastn, cutoff für P value < 1e<sup>-31</sup>, Matrix: Blosum 62, Gap existence cost: 11, Per residue gap cost:1) mit der Aminosäuresequenz des Arabidopsis TWD-Proteins in der Non-redundant Database of GenBank EST Division/Subdivision *Zea mays* gefunden wurde, konnte ein cDNA Contig über insgesamt 776 Basenpaare zusammengestellt werden (ZmTWDContig, SEQ ID NO:7). Die Translation des längsten offenen Leserasters der Nukleotidsequenz von ZmTWDContig in Aminosäuren ergibt ein durchlaufendes Peptid (ZmTWD, SEQ ID NO:8) mit einer Länge von 168 Aminosäuren. Die Identität zum TWD Protein aus Arabidopsis beträgt 68,5%, die Ähnlichkeit 79,8% zu den Aminosäurepositionen 196 bis 365 des TWD Proteins aus Arabidopsis.

15

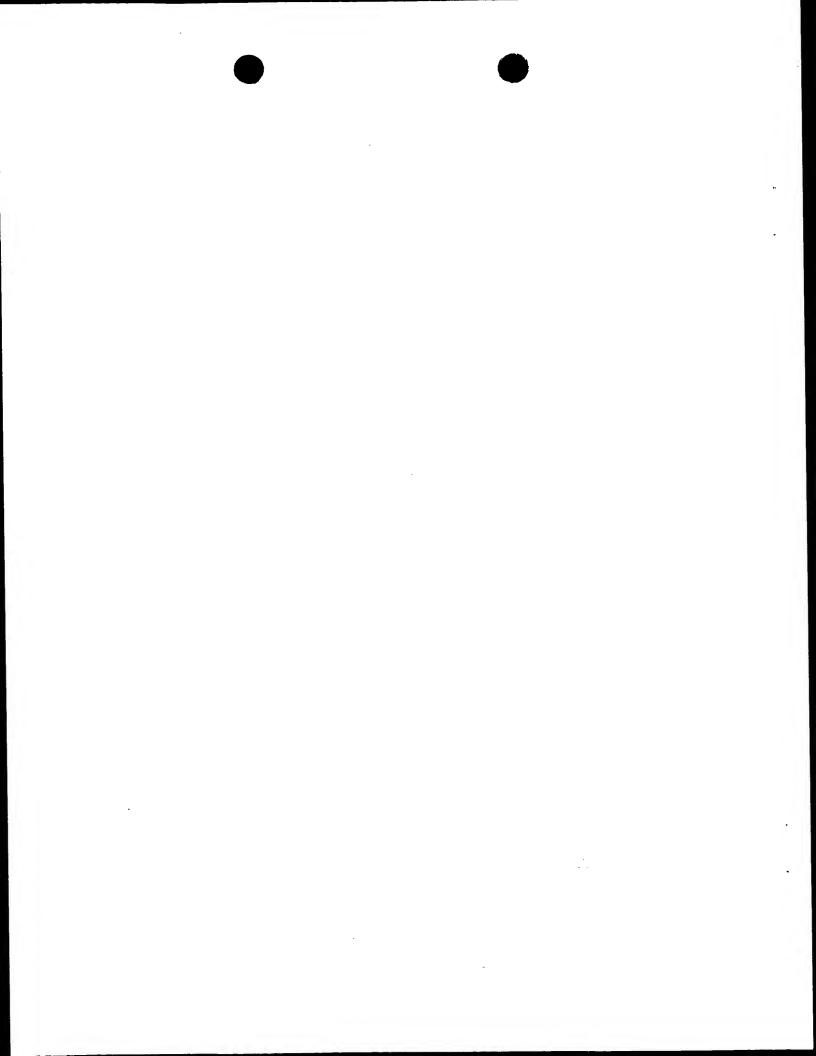
25

30

### 24 Patentansprüche

- 1. Nukleinsäuresequenz gemäß SEQ ID NO:1, SEQ ID NO:2, SEQ ID NO:5 oder SEQ ID NO:7 oder deren Fragment oder Derivat oder eine Nukleinsäuresequenz, die mit der Nukleinsäuresequenz gemäß SEQ ID NO:1, SEQ ID NO:2, SEQ ID NO:5 oder SEQ ID NO:7 hybridisiert und die biologische Aktivität der Nukleinsäuresequenz gemäß SEQ ID NO:1, SEQ ID NO:2, SEQ ID NO:5 oder SEQ ID NO:7 besitzt.
- Nukleinsäuresequenz nach Anspruch 1, wobei die hybridisierende Nukleinsäuresequenz
   unter stringenten Bedingungen mit der Nukleinsäuresequenz gemäß SEQ ID NO:1, SEQ ID NO:2, SEQ ID NO:5 oder SEQ ID NO:7 hybridisiert.
  - 3. Polypeptid, umfassend eine Aminosäuresequenz gemäß SEQ ID NO:3, SEQ ID NO:6 oder SEQ ID NO:8.
  - 4. Vektor, umfassend eine Nukleinsäuresequenz gemäß Anspruch 1 oder 2.
- 5. Vektor gemäß Anspruch 4, ferner umfassend ein oder mehrere Steuerelemente, die die Transkription und/oder Translation der Nukleinsäuresequenz gemäß Anspruch 1 oder 2 gewährleisten.
  - 6. Verfahren zur Herstellung von Pflanzen, umfassend das stabile Integrieren mindestens einer Nukleinsäuresequenz gemäß Anspruch 1 oder 2 in das Genom von Pflanzenzellen oder Pflanzengeweben und Regeneration der erhaltenen Pflanzenzellen oder Pflanzengeweben zu Pflanzen.
  - 7. Verfahren nach Anspruch 6, wobei die integrierte Nukleinsäuresequenz ferner ein oder mehrere Steuerelemente umfasst, die die Transkription und/oder Translation der Nukleinsäuresequenz gewährleisten.
  - 8. Verfahren nach Anspruch 6 oder 7, wobei die integrierte Nukleinsäuresequenz in Antisense-Orientierung exprimiert wird.

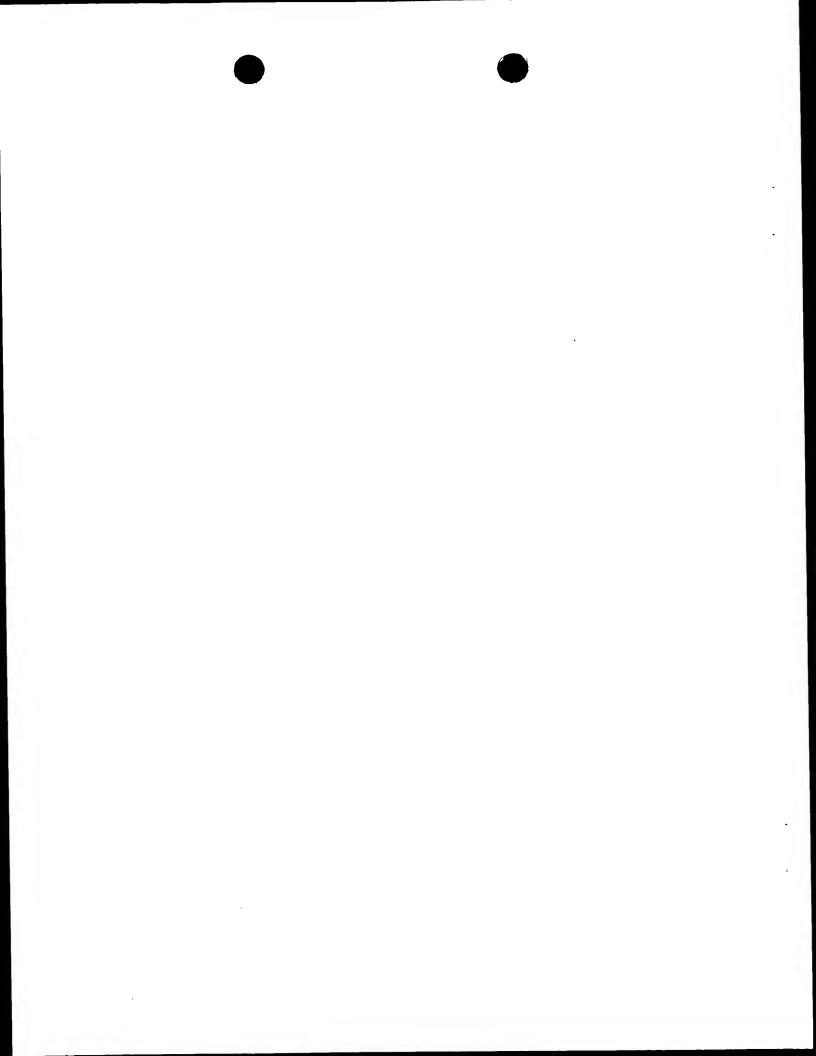
- Verfahren nach Anspruch 6 oder 7, wobei die integrierte Nukleinsäuresequenz die 9. eines Ribozyms besitzt, das die biologische Aktivität Nukleinsäuresequenz gemäß Anspruch 1 oder 2 unterdrückt.
- 5 Verfahren nach Anspruch 6, wobei die Nukleinsäuresequenz in den genomischen Bereich 10. des homologen endogenen Gens durch homologe Rekombination integriert wird.
  - Transformierte Pflanzenzelle oder transformiertes Pflanzengewebe, umfassend eine stabil 11. in das Genom der Pflanzenzelle oder des Pflanzengewebes integrierte Nukleinsäuresequenz gemäß Anspruch 1 oder 2.
  - Pflanzenzelle oder Pflanzengewebe nach Anspruch 11, regenerierbar zu einer Samen-12. produzierenden Pflanze.
- Transgene Pflanze und deren Samen umfassend eine rekombinante Nukleinsäuresequenz 15 13. gemäß Anspruch 1 oder 2.



## 1 / 4

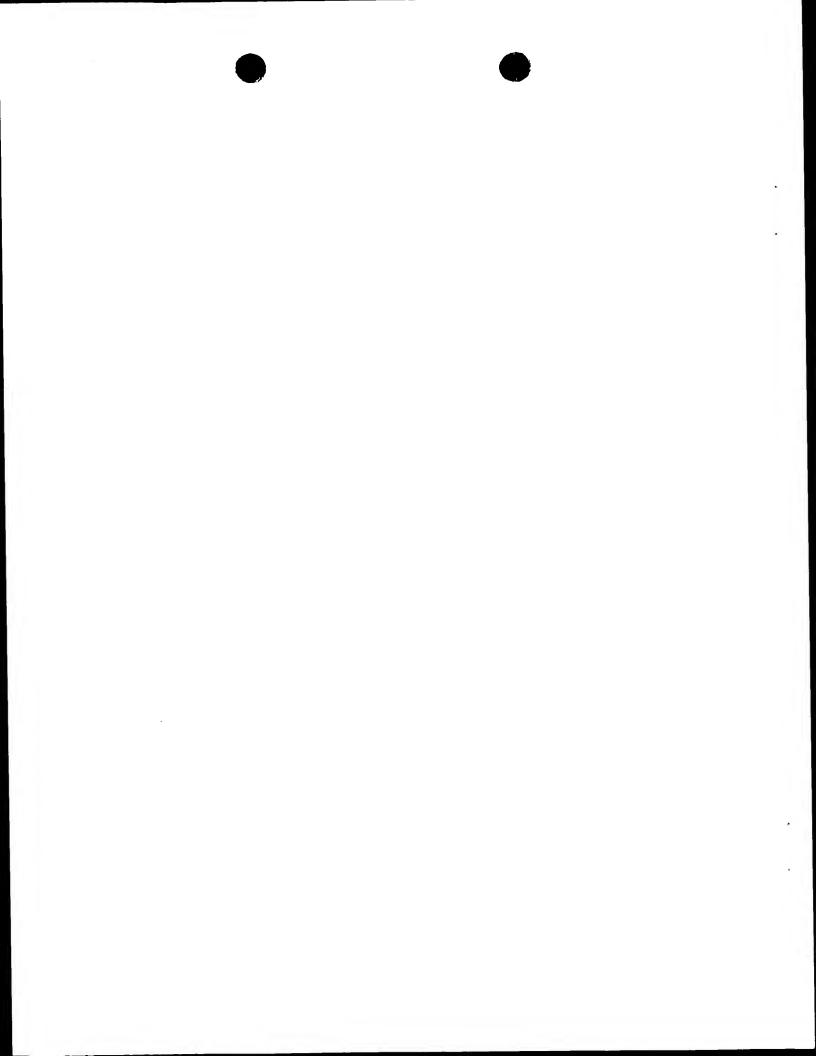
# Figur 1A

1	GTCTAAGAACCTTAAGGAGAAAGAGATTAAGAGGCAGACATTGCTTGAGCTTGTTGATT
61	TGTTGCATCAGTTGGTTTTAAGTTTAACGATGTTTCGATGCAAGAGTTAACGAAGATGG
121	AGCGGTTAATCTGTTTAGAACTTTTCCTTCTGCGAATCACGAGAGTAAAATTCTTGAAAT
181	ACATGATATGGATGATGAAGAACCTTCTTTGGAGCCAGCTTGGCCTCATGTTCAAGTTG
241	GTATGAGATTCTTCTCAGATTCGTGGCTTCTCCCATGACTGATGCAAAGCTTGCCAAGAG
301	ATATATTGACCATTCTTTGTCTTGAAGCTCTTAGACTTGTTTGATTCTGAAGATCAAAG
361	AGAGAGGGAATATCTAAAAACTATTCTGCATCGGGTGTACGGGAAGTTCATGGTGCATCG
421	ACCTTACATCAGAAAGGCGATAAACAATATCTTCTACAGATTCATATCCGAGACTGAAAA
481	GCATAATGGCATTGCGGAGTTGCTAGAGATTCTTGGAAGTATAATTAAT
541	GCCTTTAAAAGAAGAGCACAAGCTCTTCCTTTTGCGAGCCTTGATTCCTCTCCACAAGCC
601	TAAATGTTCATCAGTCTATCACCAACAGCTTTCGTATTGCATTGTTCAGTTTGTAGAAAA
661	GGACTTCAAGCTCGCTGATACCGTTATTAGAGGTCTTTTAAAATATTGGCCTGTGACTAA
721	CAGCTCAAAGGAAGTTATGTTTCTTGGAGAGTTAGAAGAAGTCTTGGAAGCAACTCAAGC
781	CGCTGAGTTTCAACGTTGTATGGTTCCATTATCCCGACAAATTGCTCGATGCCTCAACAG
841	TTCACATTTCCAGGTTCGAGTCTTTGACTATCACACAACTTCATATCTATC
901	TAAAGTCTTGTACCTATATATGAAGTTGTACTTTTTTTTT
961	TTGTTTCTATGGAACAACGATCACATAAGAAACCTGATCACTCAGAACCATAAAGTGATA
1021	$\tt ATGCCTATAGTCTTCCCAGCTCTTGAGAGAAACACGCGTGGACATTGGAACCAAGCAGTT$
1081	${\tt CAAAGTCTGACTATAAACGTGAGGAAAGTATTATGCGAGATTGACCAAGTTCTTTTCGAC}$
1141	GAGTGTTTAGCCAAATTCCAAGTAGAAGAAGTGAATAAAACAGAGGTTAAAGCGAAACGG
1201	GAAAGGACATGGCAACGGTTAGAAGATTTAGCTACTTCAAAGACCGTTGTAACCAACGAG
1261	${\tt GCAGTACTGGTTCCAAGATTTGTGTCCTCAGTCAATCTTACTACAAGCAGCTCTGAGTCC}$
1321	${\tt ACAGGGTCGTAGGTTACTATGTACTATGTAACAAATATTTGTGGTCAC}$
1381	${\tt TATAGAAATGGTTCTTGAGAGACGACTGTATAATTATTTTTTAAATTATAATCTTTTGG}$
1441	GTCAAATTGAGAATATTTGATATTATTTTACTGAATTATAATAAACGCCGTTAAAACTCT
1501	$\tt CGTTAGTTAACGGCTGACTCTGAAGTGAAAACTGAAAGTCGAAGGGTCTCTTTATATTT$
1561	TCAGAATCAAAATCTGAAATTTATCTCTCGGTCGATCCAGTCTTCGTGAGTGA
1621	GACGACGACGACTCTCTTGAGCTTCTCATACTTCGTAAGTTCACTCTCTTT
1681	CTCTAAATTGACAAACTTTTTCTTCGTTTTCTGCTATTATTGACGACGAGACTTGATTTT



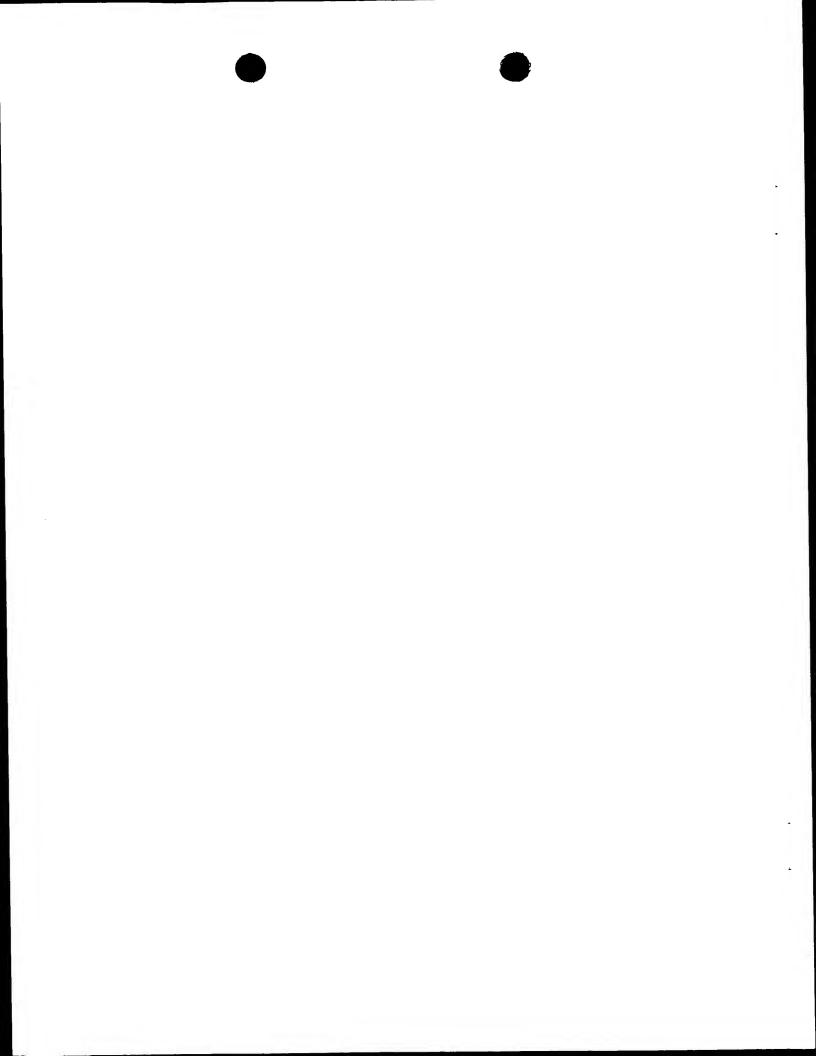
# Figur 1B

1/4	ı G	1.1.	TTC	AAA	A'T'G#	AAA.	rgg:	rtc.	AAG'	TAG	CTG	ACT	TCG	ACT	ATGT	rtc:	rTT1	rgge	TT	rtt	JTC/	A
180	1 T	TG.	raa	CTI	CACT	r <b>T</b> G:	rcto	GAT'	TTG	GTC	GAT	GTT'	TAA:	rca,	ATTO	CAAC	CACI	AAT?	\AGF	ATT(	CAA:	r
186	1 T	TΤ	TGG	TTA	GAC	CAC	TTG	CAC	ATT'	TTT.	ATT	CAG	ACC	CAGO	TTC	ATI	TGG	GAA	ATA	ATC	3GAT	Г
1.00	. ~	י מי מי	ТОП	om.c			<b>-</b>													M	D	2
192	E		5	L	E	H	Q	AAC' T	ГСА/ Q	AAC. T	ACA' H	TGG: D	raa(	AATE	LTA	TTC	ATA	GAT	'TTA	ATC	TCI	r 1:
198	L C	ΓG	TAA	ACA	TAT	ATA	ATGA	CTI	rca <i>i</i>	ATA'	TGT:	rtg <i>i</i>	ATTO	GAG	TTT	'TTI	TGT	TGT	'CCC	'ATA	ATTC	2
204	L A.	AT.	rgg	ATG	CTT	TG1	TAA	AGC	TAE	\AA'	TGT	CTAT	CAA	ATI	'ATG	TTC	ACT	GCG	TTA	TTC	TTT	
2101	L CI	ľA	\AT	CAT	ATT	GTG	TAA	CTI	rggz	AC	AAA(	3CA1	GTA	TAC	AAC	AAA	TTT	GTT	AGA	CTT	'AAT	•
2161																						
2221						CCA	AGA															
						Q	E	S	E	Ι	V	Т	E	G	S	A	V	V	H	S	E	29
2281	. GC	CP	S S	CA. Q	AGA E	GGG G	TAA N	TGT V	TCC P	TCC P	CTAA K	AGT V	TGA D	TAG S	TGA. E	AGC A	TGA E	GGT V	CTT L	GGA D	TGA E	. 49
2341	GA	A.A	GT	CAG'	TAA	GCA	GAT	TAT	'AAA	.GG <i>I</i>	AGG	TCA	.CGG	TTC	CAA	ACC.	ATC	CAA	GTA:	CTC	TAC	
	7		V	5	K	Q	1	1	K	E	G	H	G	S	K	P	s	K	Y	s	T	69
2401	ΑT	'GC	TT.	rtg: L	raa(	GTA	CCC	TTT	'AGC	TTT	CTG	TTG	ATT	GGA'	TGT'	rga'	TTT	TTC	JAT'	rgc:	ACT	72
2461	TG	тт	GG	CTA	TT	GCT.	ACT	GTT	TAT	TTG	AAT	CTT	TCT.	ATC:	rga(	CCA	ATT	rca:	ΓΑΤ:	rgg(	CCA	
2521			GCI	ACT	ACA																	
			н	Y	R	A	W	Т	K	N	S	Q	H	K	F	E	D	Т	W	Н	E	91
2581	AG	CA Q	GC <i>I</i> Q	ACC P	TAT I	FTG: E	AAT L	TGG' V	TTC L	TTG G			GTA'	TGT	GCT	rgt	CGAZ	ATAI	[GT#	/CTO	CTA	10
2641	CA	CC	TCC	TTA	TCC	STT	AGA:	rga.	ATC	GTC	ATT	GGT	AAA'	rtto	ATC	BAG1	TAC	CTT	GTO	רמידנ	בידיז	
2701																						
2761																						
2821																						
													K	K	E	L	A	G	L	Α	I	11:
2881	TCC	GG: G	rgt V	TGC A	TAG S	CAT M	rga <i>z</i> K	GTO S	CTG( G	E E	AAC( R	GTG( A	CGCT L	TGT V	GCA H	TGT V	TGG	CTG ผ	GGA	ATT	'AG	7 7 7
2941																						131
	3	?	G	ĸ	E	G	N	F	s	F	P	N	V	P	Р	М	A	D	L	Ļ	Υ	151
3001	ATC E	BAC E	GT V	GGA. E	AGT V	TAT I	TGG G	GT1 F	TG# D	ATG/ E	AAA T	CAAA K	AGGA E	GGT	AAG	TTA	TTT	CCT	ATA	CCA		163



# Figur 1C

2001	ATC	. 1 1	GT.	TTC	CT	TAC	CCA	AG.	ACC	SAC	TC	CAC	CAT	CC	AAC	CT	TT	ATC	CCA	AC	CTC	CT	TG	CTT	AC	
3121	CTO	CTC	TG.	AC1	ГТА	GA?	ΓGA	TG'	TAT	TG	AAC	CAC	GG	SAA	AAC	CT	'CG(	CAG	тса	ימיד	בטו	СТ	CT?	) (C.)	CC	
																		s					v	E		174
3181	AAA	\GG	AT'	TGG	TG	CAC	GCA	GA(	CAG	AA	GA.	\AA	AT	GG.	ATG	GG	AAT	rtc'	TCT	TTT	TA	AG	GAC	GA	GA	
	F	2	Ι	G	A	P	Ą	D	R	R	F		М				N		L					E		194
3241	AAC	TG:	GA	GGA	AG	CCA	TG	CA	ACA	GT.	ATO	AA	ΑT	'GG'	TTA	TG	CAT	יריי	רייירי	ייייי	יד מי	$CT_1$	, יינים	יידיי	TC	
	I	,	E	Ε	Α	r	1	Q	Q	Y	E	:	M							101	.AI	C 1 '	C 1 F	11 C	10	204
3301	TCI	'TT	CCZ	AAC	'AA'	ΓTΑ	\CG	GTO	CAA	AG'	ГТТ	'AG	GT	TT'	ГСА	.GG	CAI	'AC'	ГТА	GTO	ag'	TC'	TGC	TC	GA	
3361	GGC	TC	TTC	GTG	TC	ГТС	TT:	TCC	GC	TT:	rre	ат	מדי	GTO	ידי בי	מכי	Trans	יידכו	تاسد	لىنىن	י תיי	~~ <i>(</i>	707	m a	20	
																		10	-10		. CA	A			y Y	207
3421	ATA	.CA'	TGC	GG	GAG	CGA	TT	TTZ	ATG	ጥተና	מיז	.cc	ጥር፣	ጥል፣	raa	C ۸ :	A C T	יז כינ	77.0	~ ~ ~	יבי עו	~~ <i>.</i>			~~	
	Y	M	C	3	D	D	F	Ņ	1	F	Q	L	10	Y	G	K	AG I Y	ACC	_AG	GA I D	M	ایات A	L.T.C		JC A	227
3481	AGT	TA	AAZ	AAC	CCZ	ንጥረ	רכ	ል ጥር																		
	V	K	N	I	P	C	Н	I		N	I	AG A	CA	GC. A	C	L	rca I	TCA	AAA (	CTA L	AA. K	ACC R	FAE Y		SA O	247
3541	TGA	AG	CAA	TT	GG1	CA	CT(	GCA	AC.	ATI	GT	AA	GA(	CTO	CAT	CAA	AAC	CAI	TC	ATT	TGA	אב	ι Δ	ממ	רכי	
	E	A	1		G	H	С	N	1	Ι																255
3601	ATT	AA.	AGI	TC.	ATA	CT	CG	3TT	TC'	rce	AA	AT	CT	AAI	CA	AAC	тс	ΆΔΔ	ACC	ىلىشىر	ΔTC	٠ <u>۵</u>	ייי	היניבי	rc	
																							v			257
3661	ACA	GA/	\GA	AG.	AGA	AA	AA	CCC	'AA	AAG	CA	CT	GT.	rc <i>p</i>	GA	AG <i>I</i>	\GG	GAA	AG	CAA	AGO	SCA	GA.	GC1	'A	
	T :	Ε	E	Ε	K		N	P	K	A		L	F	F		?	G	K					E	L		277
3721	GGA	CAC	TAS	'GG	ACT	CA	GC	ACG	TG	ATG	AT'	TT	cc	GAA	AG	GCA	ACA	AAA	GT	ATG	CTC	CT	'GA	CGA	\C	
	G (	2	M	D	S		A	R	D	D		F	R	K	. 7	Ą	Q	K	Y	A			D	D		297
3781	AAG	3CG	AT	TA(	<b>GAA</b>	GA	GAC	CT	'ACC	BAG	CA	CT:	rgo	CAG	AGO	CAA	GA	GAA	AGO	:С'T'	ፐርፕ	ם כ	ירם:	מממ	ı.c	
	K i	Ą	I	R	R	. 1	E	L	R	A		L	A			2	E	K	A	L	Y		Q	K		317
3841	CAG	\AA	GA	AA:	ГGТ	'AC	AAA	\GG	AAT	ΓAT	TC.	ΔΑΖ	\GC	ac d	אממ	די מב	יבא:	N C C	TCC	ישרי	ע יייי	20	T-C-		_	
	Q I	Κ.	E	М	Y	. 1	ĸ	G	I	F	<u> </u>	K	G	K	I			G					S	AAA K		337
3901	AGC	יייניב	ىلىلىر	ጉጥር	iCT.	TC	מידמ	יכיי	വസ	ייטיאני	CC/	77.7	mo		mme											
	s I		F	W	L		I	V	.L	W.	ای )	- <i>AA</i> -	W	G I F	7.1.0		TC S	CCT L	TTI F	CTC:	CCC R		'AT( T	CTT F		357
1961	CGAC	יפר	י אי	ር አ ና	י א רי													_	_	-	-		_	•	-	,
3961	R F	.GC }	H H	CAC R	JAG V	I.T.Y		.GC.	AGA D	TTI.	AA?	rgi	ľA'.	'GA	AGA	AG	GG'	ΓTΑ	CAA	TT	<b>A</b>					
351					-	-			ב																-	365

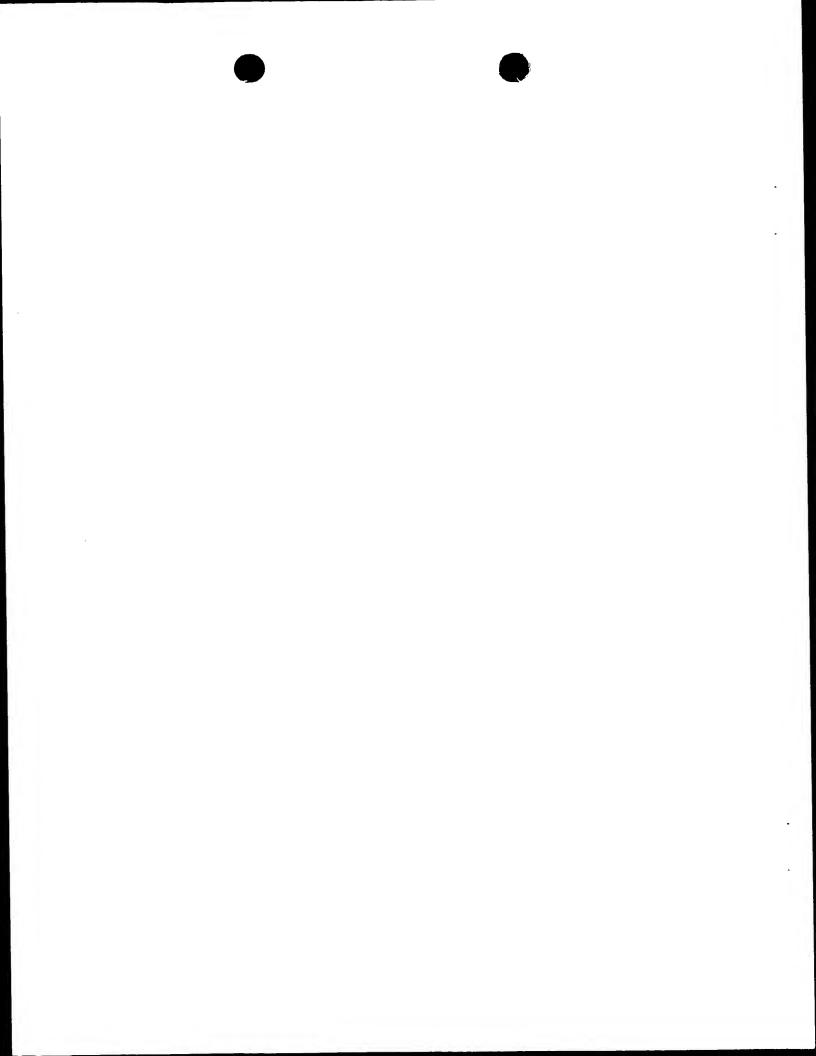


# FIGUR 2

TTP	-	Wa William Co. Co.	
LIP	1	MAEVEEEQQLQNSSVDQGSTDEIIAEGASVVRGELPQDDAGPPKVDSEVE 5	0
TWD	1	MDESLEHQTQTHDQESEIVTEGSAVVHSEPSQEGNVPPKVDSEAE 4	
TTP	51	VLHEKVTKQIVKEGHGOKPSKVATCETAVPAWAESTOWN	
TWD			00 -
TTP	101	ELVIGKERKEMTCI A ICUNIONECODO :	>
OT-TO	200	ELVIGKERKEMTGLAIGVNSMKSGERALFHVGWELAYGKEGNFSFPNVPP 1	50
TWD	96	ELVLGKEKKELAGLAIGVASMKSGERALVHVGWELAYGKEGNFSFPNVPP 14	45
TTP		PADVLYEVELIGEDETGEGKARGDMTVEEPTGTADDBYMDGWY	_
TWD			J
		ADLLYEVEVIGEDETKEGKARSDMTVEERIGAADRRKMDGNSLEKEEKL 195	5
TTP	201 E	EAMOOYEMATAYMGDDFMFOLFGKFRDMALAVKNPCHLNMAACLLKLOR 250	a
TWD		EAMOQYEMAIAYMGDDFMFQLYGKYQDMALRVKNPCHLNIAACLIKLKR 245	_
TTP	251 Y	THE TROOPER TO THE TENTH OF THE	Š
	231 1	DEALAQCSIVLAEEENNVKALFRRGKARSILGOTDAAREDFLKARKLAP 300	)
TWD	246 Y	DEAIGHCNIVLTEEEKNPKALFRRGKAKAELGOMDSARDDFRKAQKYAP 295	ς.
TTP		DKAITRELNLIAFHEKAVY	
mr ===		11)) 1)) -11 111.1	-
TWD	296 D	odkairreiralaeqekalyokokemykgifkgkdeggakskslfwlivl 345	5

# FIGUR 3

ZmTWD	1	EEAMOOYEMAIAYMGDDFMFOI ECYVDDWA	
TWD	196	EEAMQQYEMAIAYMGDDFMFQLFGKYRDMALAVKNPCHLNMAACLIKLKR	50
22	130	EEAMQQYEMAIAYMGDDFMFQLYGKYQDMALRVKNPCHLNIAACLIKLKR	245
ZmTWD	51	•	
TWD	246	YDEA ICHCUITH THE THE THE THE THE THE THE THE THE T	100
	240	YDEAIGHCNIVLTEEEKNPKALFRRGKAKAELGOMDSARDDFRKAQKYAP	295
ZmTWD	101	EXKEITELRLIAEOXKALYOKOKELYKGLFGPSPEAKPKKAKYLVVF	148
TWD	296		
		DDKAIRRELRALAEQEKALYQKQKEMYKGIFKGKDEGGAKSKSLFWLIVL	345
ZmTWD	149	WOWLVSFILYLAGMFKRKNE 168	
TWD	346	: :   : WQWFVSLFSRIFRRHRVKAD 365	
		A STATE OF THE OWNER SOS	

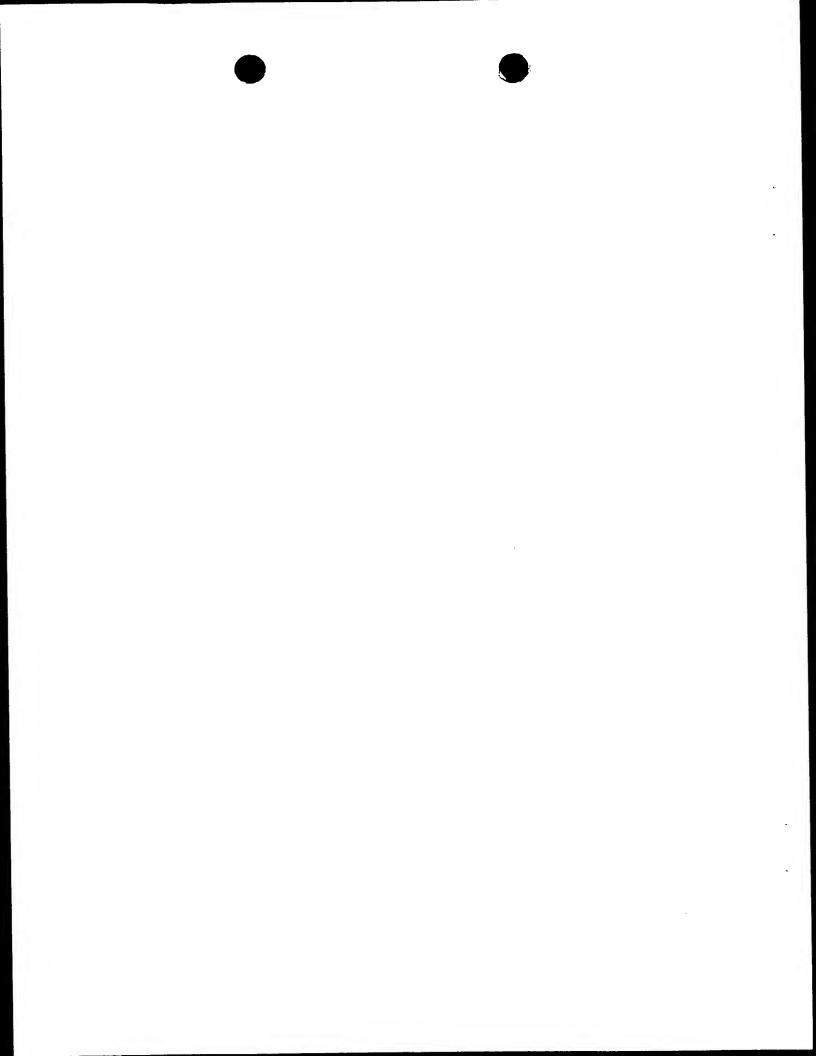


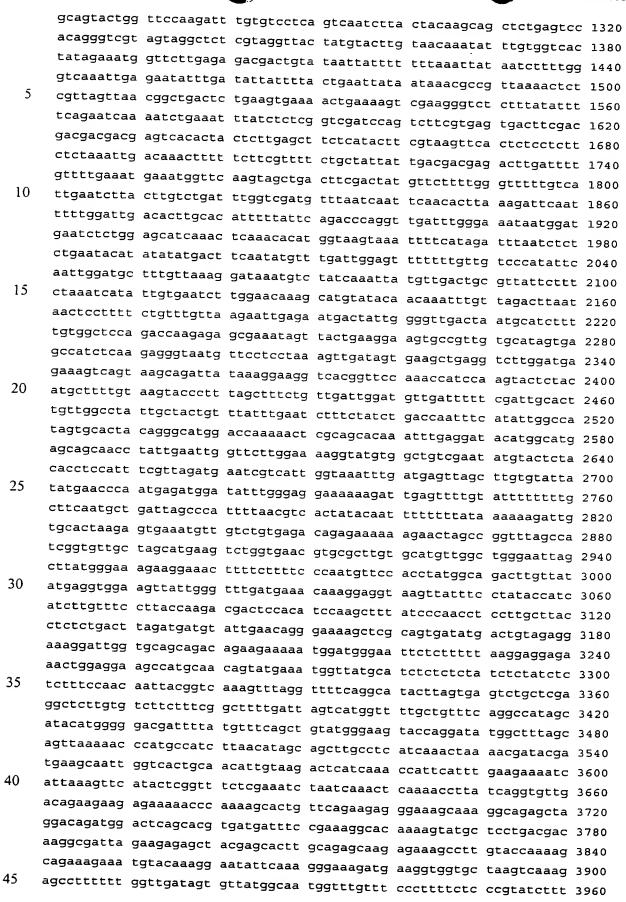
45

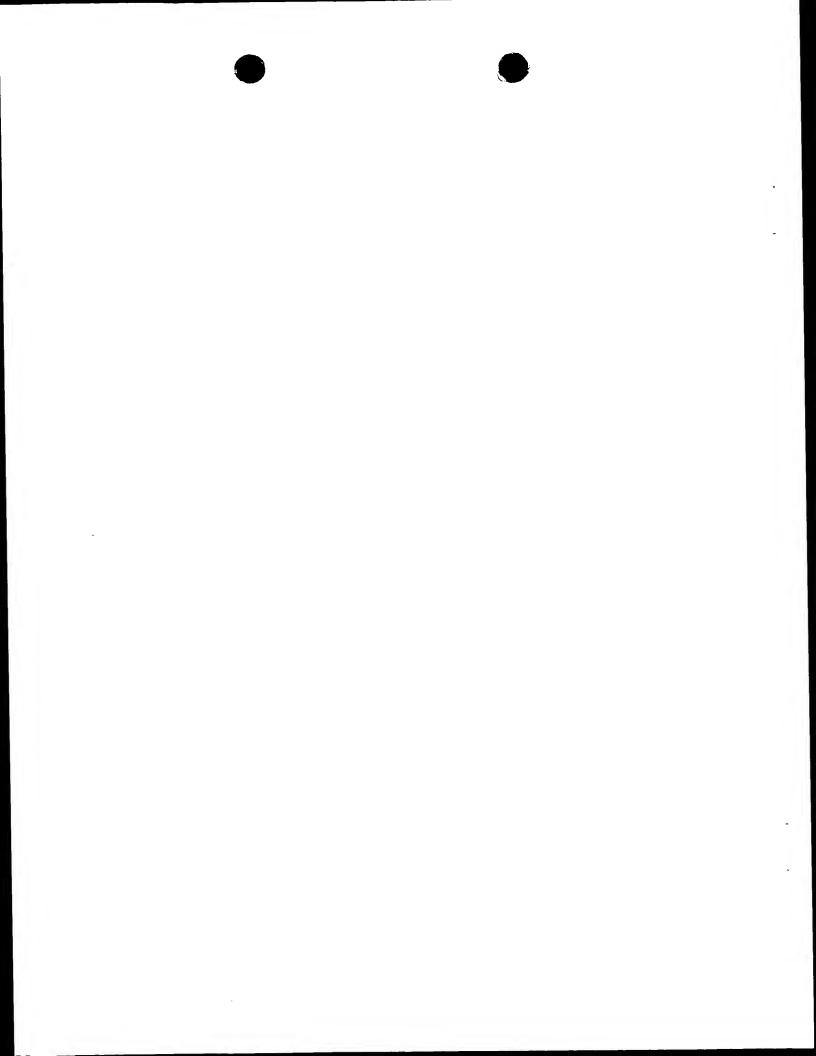
#### SEQUENZPROTOKOLL

```
<110> Schulz Dr., Burkhard
  5
      <120> DNA-Sequenz eines FKBP ähnlichen Proteins
      <130> SCU-001PCT
     <140> xx
 10
     <141> 2000-02-18
     <150> DE 199 07 598.0
     <151> 1999-02-22
15
     <160> 8
     <170> PatentIn Ver. 2.1
     <210> 1
20
     <211> 4010
     <212> DNA
     <213> Arabidopsis thaliana
     <400> 1
     gtctaagaac cttaaggaga aagagattaa gaggcagaca ttgcttgagc ttgttgatta 60
25
     tgttgcatca gttggtttta agtttaacga tgtttcgatg caagagttaa cgaagatggt 120
     agcggttaat ctgtttagaa cttttccttc tgcgaatcac gagagtaaaa ttcttgaaat 180
     acatgatatg gatgatgaag aaccttettt ggageeaget tggeeteatg tteaagttgt 240
     gtatgagatt cttctcagat tcgtggcttc tcccatgact gatgcaaagc ttgccaagag 300
     atatattgac cattettttg tettgaaget ettagaettg tttgattetg aagateaaag 360
30
     agagaggaa tatctaaaaa ctattctgca tcgggtgtac gggaagttca tggtgcatcg 420
     accttacatc agaaaggcga taaacaatat cttctacaga ttcatatccg agactgaaaa 480
     gcataatggc attgcggagt tgctagagat tcttggaagt ataattaatg gttttgcttt 540
     gcctttaaaa gaagagcaca agctcttcct tttgcgagcc ttgattcctc tccacaagcc 600
    taaatgttca tcagtctatc accaacagct ttcgtattgc attgttcagt ttgtagaaaa 660
35
    ggacttcaag ctcgctgata ccgttattag aggtctttta aaatattggc ctgtgactaa 720
    cagctcaaag gaagttatgt ttcttggaga gttagaagaa gtcttggaag caactcaagc 780
    cgctgagttt caacgttgta tggttccatt atcccgacaa attgctcgat gcctcaacag 840
    ttcacatttc caggttcgag tctttgacta tcatcacaac ttcatatcta tctctcttga 900
    taaagtettg tacetatata tgaagttgta etttttgttt gteaggttge tgaaagagea 960
40
    ttgtttctat ggaacaacga tcacataaga aacctgatca ctcagaacca taaagtgata 1020
    atgcctatag tcttcccagc tcttgagaga aacacgcgtg gacattggaa ccaagcagtt 1080
    caaagtotga otataaaogt gaggaaagta ttatgogaga ttgaccaagt tottttogao 1140
    gagtgtttag ccaaattcca agtagaagaa gtgaataaaa cagaggttaa agcgaaacgg 1200
```

gaaaggacat ggcaacggtt agaagattta gctacttcaa agaccgttgt aaccaacgag 1260









# cgacgccaca gagttaaagc agattaatgt atgaagaagg gttacaatta

4010

1270

<210> 2 5 <211> 1270 <212> DNA <213> Arabidopsis thaliana <400> 2 gaaaagtcga agggtctctt tatattttca gaatcaaaat ctgaaattta tctctcggtc 60 10 gatccagtct tcgtgagtga cttcgacgac gacgacgagt cacactactc ttgagcttct 120 \_ catacttcac ccaggttgat ttgggaaata atggatgaat ctctggagca tcaaactcaa 180 acacatgacc aagagagcga aatagttact gaaggaagtg ccgttgtgca tagtggccat 240 ctcaagaggg taatgttcct cctaaagttg atagtgaagc tgaggtcttg gatgagaaag 300 tcagtaagca gattataaag gaaggtcacg gttccaaacc atccaagtac tctacatgct 360 15 tttgtcacta cagggcatgg accaaaaact cgcagcacaa atttgaggat acatggcatg 420 agcagcaacc tattgaattg gttcttggaa aagagaaaaa agaactagcc ggtttagcca 480 teggtgttgc tagcatgaag tetggtgaac gtgegettgt geatgttgge tgggaattag 540 cttatgggaa agaaggaaac ttttcttttc ccaatgttcc acctatggca gacttgttat 600 20 atgaggtgga agttattggg tttgatgaaa caaaggaggg aaaagctcgc agtgatatga 660 ctgtagagga aaggattggt gcagcagaca gaagaaaaat ggatgggaat tctcttttta 720 aggaggagaa actggaggaa gccatgcaac agtatgaaat ggccatagca tacatggggg 780 acgattttat gtttcagctg tatgggaagt accaggatat ggctttagca gttaaaaacc 840 gtcactgcaa cattgtgttg acagaagaag agaaaaaccc aaaagcactg ttcagaagag 960 25 ggaaagcaaa ggcagagcta ggacagatgg actcagcacg tgatgatttc cgaaaggcac 1020 aaaagtatgc teetgaegae aaggegatta gaagagaget aegageaett geagageaag 1080 agaaagcctt gtaccaaaag cagaaagaaa tgtacaaagg aatattcaaa gggaaagatg 1140 aaggtggtgc taagtcaaag agcctttttt ggttgatagt gttatggcaa tggtttgttt 1200 30 cccttttctc ccgtatcttt cgacgccaca gagttaaagc agattaatgt atgaagaagg 1260 gttacaatta

<210> 3

35 <211> 365

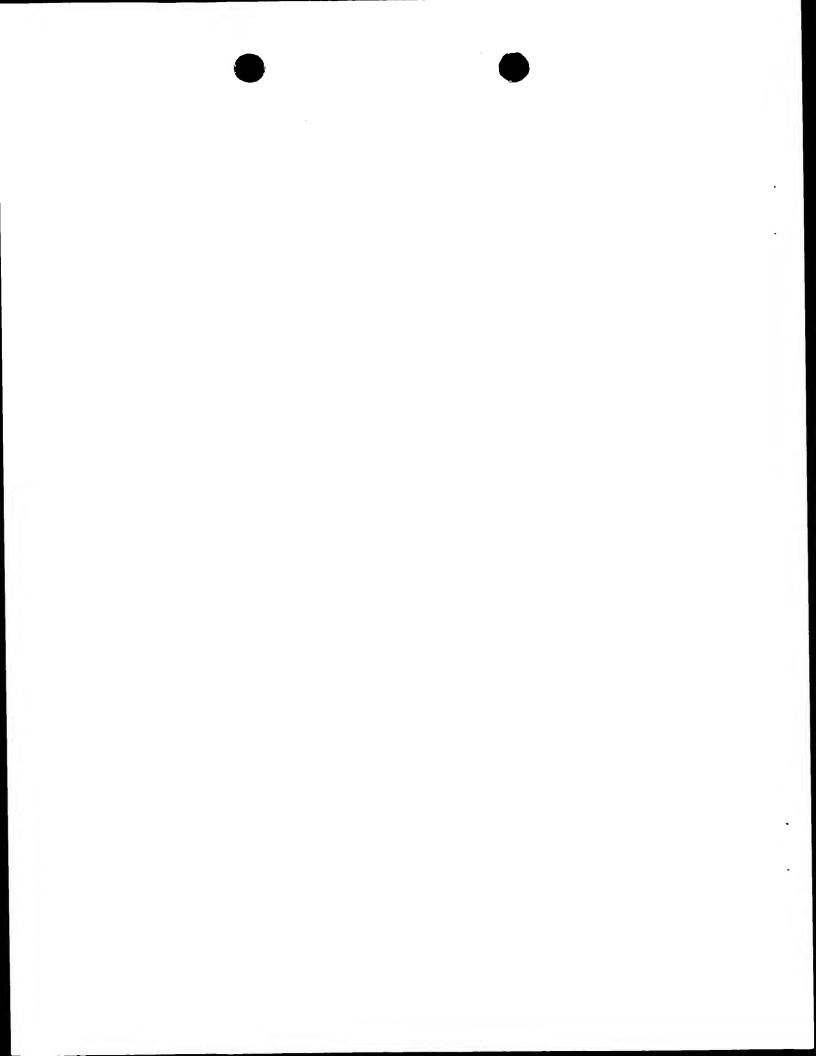
<212> PRT

<213> Arabidopsis thaliana

<400> 3

40 Met Asp Glu Ser Leu Glu His Gln Thr Gln Thr His Asp Gln Glu Ser 1 5 10 15

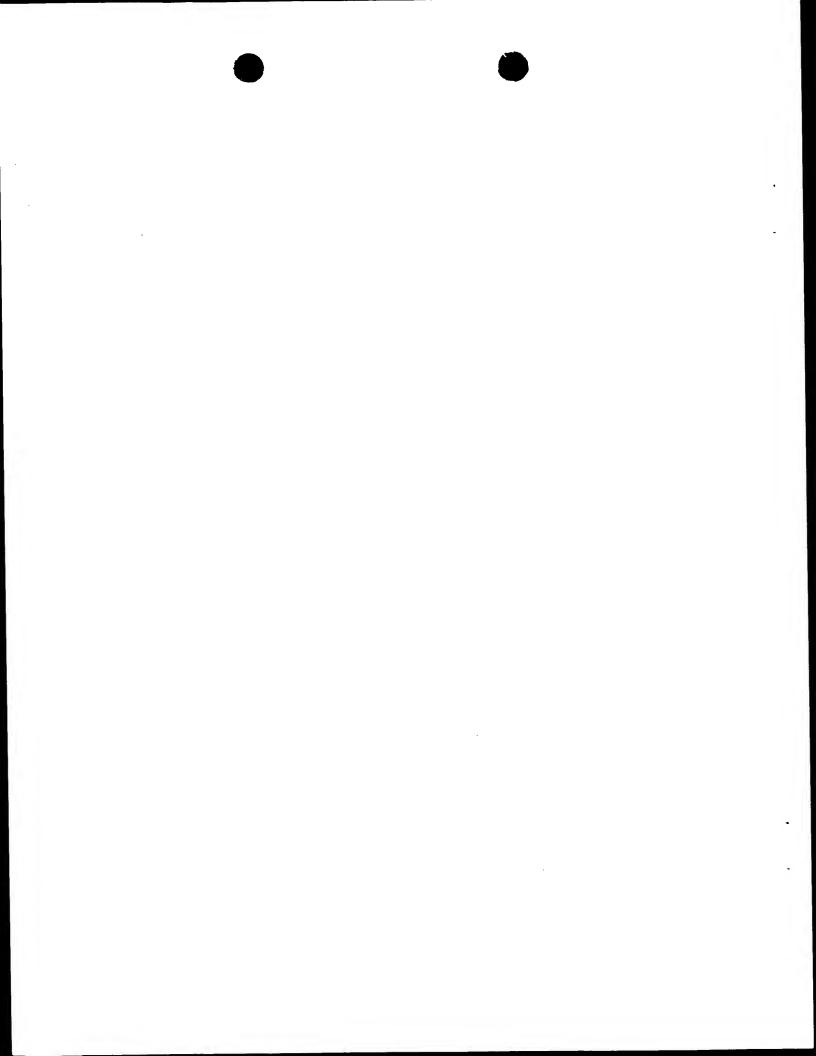
Glu Ile Val Thr Glu Gly Ser Ala Val Val His Ser Glu Pro Ser Gln
20 25 30



### WO 00/50598



	Gl	u Gl	y Ası 35	n Va	l Pro	o Pro	o Lys	5 Va.		p Se	r Glı	ı Ala		u Va 5	l Le	u Asp
5	Glı	u <b>L</b> y:	s Val	l Se:	r Lys	s Glr	ı Ile		e Ly:	s Glı	u Gly	/ His		y Sei	r Ly:	s Pro
	Se:	Lys	s Tyr	: Sei	c Thr	7 Cys		e Lei	ı His	5 Ту≀	r Arg 75		a Trj	o Thi	c Lys	S Asn 80
10	Ser	Glr	n His	Lys	Phe 85		Asp	Thr	Tr	His		Gln	ı Glr	ı Pro	) Ile 95	Glu
15	Leu	val	. Leu	Gly	/ Lys	Glu	Lys	Lys	Glu 105		ı Ala	Gly	Let	1 Ala		Gly
	Val	Ala	Ser	Met	Lys	Ser	Gly	Glu 120		, Ala	Leu	Val	His		Gly	Trp
20	Glu	Leu 130	Ala	Tyr	Gly	Lys	Glu 135	Gly	Asn	Phe	Ser	Phe	Pro	Asn	Val	Pro
	Pro 145	Met	Ala	Asp	Leu	Leu 150	Tyr	Glu	Val	Glu	Val 155	Ile	Gly	Phe	Asp	Glu 160
25	Thr	Lys	Glu	Gly	Lys 165	Ala	Arg	Ser	Asp	Met 170	Thr	Val	Glu	Glu	Arg 175	Ile
30	Gly	Ala	Ala	Asp 180	Arg	Arg	Lys	Met	Asp 185	Gly	Asn	Ser	Leu	Phe	Lys	Glu
50	Glu	Lys	Leu 195	Glu	Glu	Ala	Met	Gln 200	Gln	Tyr	Glu	Met	Ala 205	Ile	Ala	Tyr
35	Met	Gly 210	Asp	Asp	Phe	Met	Phe 215	Gln	Leu	Tyr	Gly	Lys 220	туr	Gln	Asp	Met
	Ala 225	Leu	Arg	Val	Lys	Asn 230	Pro	Cys	His	Leu	Asn 235	Ile	Ala	Ala	Cys	Leu 240
40	Ile	Lys	Leu	Lys	Arg 245	Tyr .	Asp	Glu	Ala	Ile 250	Gly	His	Cys	Asn	Ile 255	Val
	Leu	Thr	Glu	Glu	Glu	Lys .	Asn	Pro	Lys	Ala	Leu	Phe	Ara	Ara	G) v	Lve



15



Ala Lys Ala Glu Leu Gly Gln Met Asp Ser Ala Arg Asp Asp Phe Arg
275 280 285

Lys Ala Gln Lys Tyr Ala Pro Asp Asp Lys Ala Ile Arg Arg Glu Leu 5 290 295 300

Arg Ala Leu Ala Glu Gln Glu Lys Ala Leu Tyr Gln Lys Gln Lys Glu 305 310 315 320

10 Met Tyr Lys Gly Ile Phe Lys Gly Lys Asp Glu Gly Gly Ala Lys Ser 325 330 335

Lys Ser Leu Phe Trp Leu Ile Val Leu Trp Gln Trp Phe Val Ser Leu 340 345 350

Phe Ser Arg Ile Phe Arg Arg His Arg Val Lys Ala Asp 355 360 365

20 <210> 4 <211> 140 <212> DNA <213> Lycopersicon esculentum

25 <400> 4

cttatggaaa agaaggaaac ttctctttcc ctaatgtccc acctacagct gatgtattgt 60
atgaggttga gttgattggc ttcgatgaga caggagaagg aaaagcacga ggtgacatga 120
cagtagagga gagaattggg

30

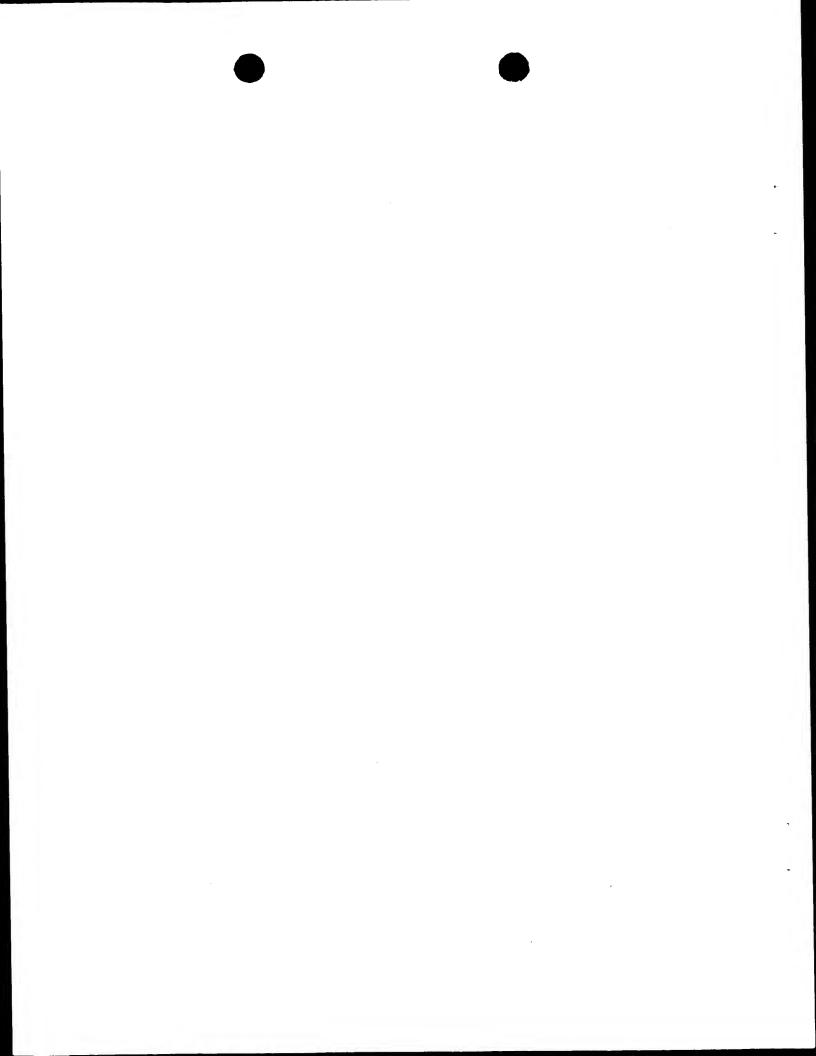
<210> 5

<211> 1142

<212> DNA

<213> Lycopersicon esculentum
35

<400> 5
 tttcagataa acccaactca atttcttgg gattttgaca ctacatgcgg tgagaattac 60 ttccaattgt cgagaagatt agtacgtggg tacttgggct gctggtgcta ttctggggt 120 taagaaaatt gagcaagatt tcgaataatg gctgaagtag aagaggagca gcagctgcag 180 aattcatcag ttgaccaggg tagtactgat gaaatcatcg ctgaaggcgc ttcagttgtt 240 cgtggagaac ttccacagga tgatgctggg ccgccaaaag ttgattcaga agtggaagtc 300 ctccatgaaa aagtaaccaa gcaaattgtt aaagaaggcc atggtcagaa gccatcaaaa 360 tacgcaacat gcttcgtga ttacagggca tgggctgaaa gcacgcagca caagtttgaa 420 gatacatggc gtgagcaaca acctcttgag ctggttatag gaaaagagag aaaggaaatg 480 actggcctag ctattggcg taacaggcat aaatccggtg agcgtgcttt atttcatgtt 540



	ggctgggaac	tagcttatgg	aaaagaagga	aacttctctt	tccctaatgt	cccacctaca	600
	gctgatgtat	tgtatgaggt	tgagttgatt	ggcttcgatg	agacaggaga	aggaaaagca	660
	cgaggtgaca	tgacagtaga	ggagagaatt	gggacagcag	atagaagaaa	gatggatgga	720
-	aatgctttat	ttaaggaaga	gaaactggag	gaagctatgc	aacagtatga	aatggccatt	780
5	gcatatatgg	gagatgactt	catgtttcag	ctgttcggta	agttccggga	catggcttta	840
	gctgtaaaga	atccctgcca	tctgaacatg	gcagcctgcc	tgctgaagct	ccagcgatat	900
	gatgaagcca	ttgcacaatg	tagcattgtc	ctagcagaag	aagaaaacaa	tgtaaaagcg	960
	ttgtttaggc	gtggaaaggc	taggtctata	cttggtcaga	ctgatgcagc	tcgtgaggac	1020
1.0	ttccttaaag	cacgtaagct	tgctccacaa	gataaagcca	ttacaaggga	attgaatttg	1080
10	attgcagaac	acgagaaggc	tgtctattag	aaacaaaagg	aactttacaa	aggactattt	1140
	aa						1142

<210> 6 <211> 320

15

25

40

45

<212> PRT

<213> Lycopersicon esculentum

<400> 6

20 Met Ala Glu Val Glu Glu Glu Gln Gln Leu Gln Asn Ser Ser Val Asp

1 5 10 15

Gln Gly Ser Thr Asp Glu Ile Ile Ala Glu Gly Ala Ser Val Val Arg

Gly Glu Leu Pro Gln Asp Asp Ala Gly Pro Pro Lys Val Asp Ser Glu 35 40 45

Val Glu Val Leu His Glu Lys Val Thr Lys Gln Ile Val Lys Glu Gly 50 55 60

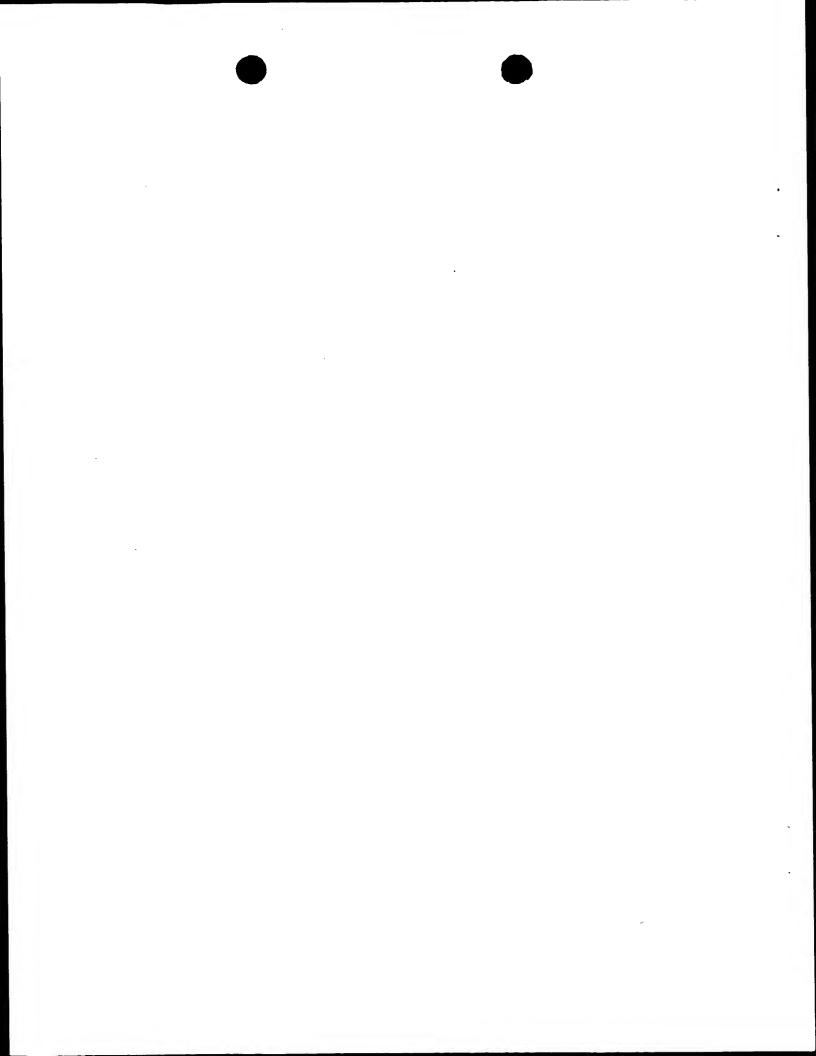
His Gly Gln Lys Pro Ser Lys Tyr Ala Thr Cys Phe Val His Tyr Arg
65 70 75 80

35 Ala Trp Ala Glu Ser Thr Gln His Lys Phe Glu Asp Thr Trp Arg Glu 85 90 95

Gln Gln Pro Leu Glu Leu Val Ile Gly Lys Glu Arg Lys Glu Met Thr

Gly Leu Ala Ile Gly Val Asn Ser Met Lys Ser Gly Glu Arg Ala Leu 115 120 125

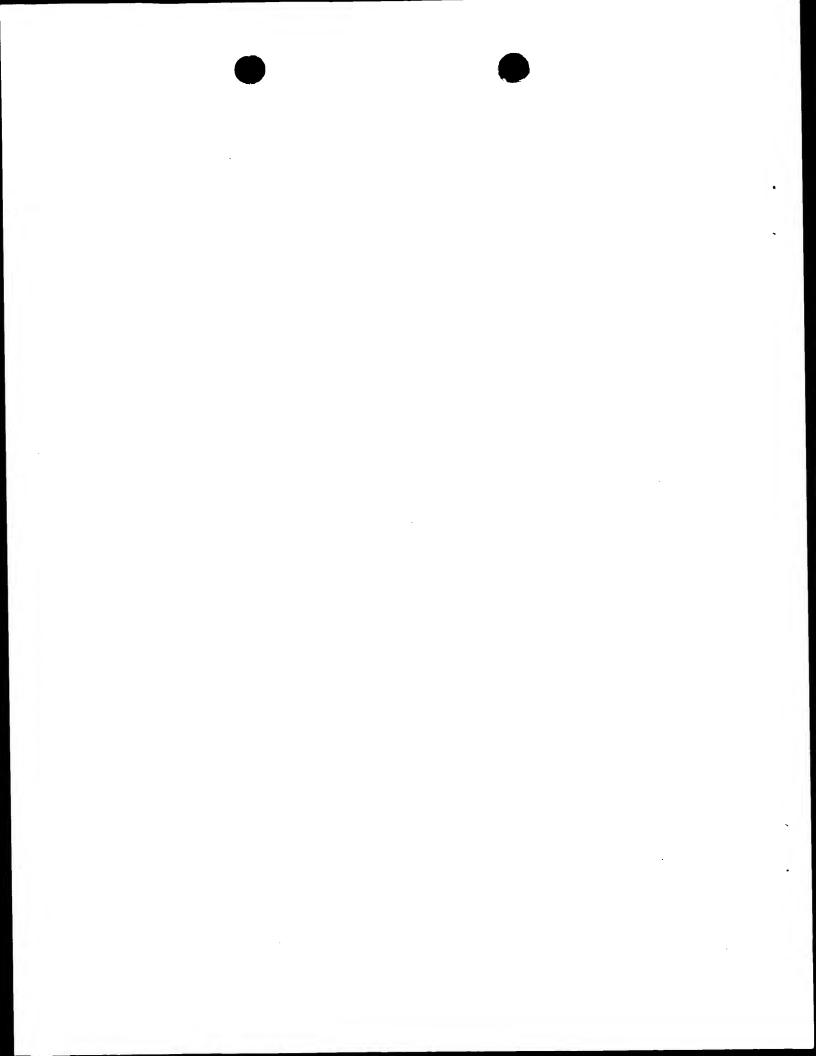
Phe His Val Gly Trp Glu Leu Ala Tyr Gly Lys Glu Gly Asn Phe Ser



45

	Phe 145	e Pro	o Asr	n Val	. Pro	Pro 150	Thr	Ala	As <sub>I</sub>	o Val	Leu 155		Glu	· Va]	l Glı	ı Leu 160
5	Il€	e Gly	/ Phe	Asp	Glu 165	Thr	Gly	Glu	Gly	/ Lys		Arg	Gly	' Asp	) Met	Thr
10	Val	. Glu	ı Glu	Arg	Ile	Gly	Thr	Ala	Asp		Arg	Lys	Met	Asp		/ Asn
	Ala	Leu	Phe	Lys	Glu	Glu	Lys	Leu 200	Glu	Glu	Ala	Met	Gln 205	Gln	Tyr	Glu
15	Met	Ala 210	Ile	Ala	Tyr	Met	Gly 215	Asp	Asp	Phe	Met	Phe 220	Gln	Leu	Phe	Gly
	Lys 225	Phe	Arg	Asp	Met	Ala 230	Leu	Ala	Val	Lys	Asn 235	Pro	Cys	His	Leu	Asn 240
20	Met	Ala	Ala	Cys	Leu 245	Leu	Lys	Leu	Gln	Arg 250	Tyr	Asp	Glu	Ala	Ile 255	Ala
25	Gln	Cys	Ser	Ile 260	Val	Leu	Ala	Glu	Glu 265	Glu	Asn	Asn	Val	Lys 270	Ala	Leu
	Phe	Arg	Arg 275	Gly	Lys	Ala	Arg	Ser 280	Ile	Leu	Gly	Gln	Thr 285	Asp	Ala	Ala
30	Arg	Glu 290	Asp	Phe	Leu		Ala 295	Arg	Lys	Leu	Ala	Pro 300	Gln	Asp	Lys	Ala
	Ile 305	Thr	Arg	Glu	Leu .	Asn 310	Leu	Ile .	Ala		His 315	Glu	Lys	Ala	Val	Tyr 320
35																
	<210	> 7														
	<211	> 77	6													
40	<212	> DN.	A													
	<213	> Ze	a may	ys												
	<400															
45	tttt	tttt	tt tt	tttc	cccc	tag	caac	agt	atta	attac	cta c	gcata	aatct	ca aa	atato	gaaag 60

ctgcaatata caatggcata aaaggccctt tgagctccag ttgaaagact gtatgaaact 120



	atggcataat	agtgaacaac	atcgtataga	gttcataaca	actaattgat	ccggaccggc	180
	cgacagttct	acagaaaatt	caacactcct	tataatacaa	ggttggtcaa	ttaggccacc	240
	agttctacac	aattttctgg	taaattatcc	tactcgttct	tccgtttgaa	catcccagcc	300
_	agataaagga	taaatgacac	cagccactgc	cagaacacaa	cgaggtactt	tgccttcttc	360
5	ggtttcgctt	caggacttgg	cccaaagaga	cctttgtaga	gctccttctg	cttctggtat	420
	agggccttgn	cttgttccgc	gagcaaacgg	agctcccgaa	tgatctcctt	gncttctggg	480
	gagtacttct	tcgctttgag	gaaatcttcc	ctcgctgatt	ctgtctggcc	aagttcagat	540
	ttagcttttc	ctcgcctgaa	cagcgctttg	acattacttt	catcttctgt	caaaacaatg	600
	ctacactgcg	caatagcttc	atcgaatctc	tttagtttga	tcaggcatgc	ggccatattg	660
10	agatggcatg	gatttttcac	agccaaggcc	atgtctctgt	actttccaaa	taattgaaac	720
	atgaaatcat	ctcccatgta	tgcaatcgcc	atttcatatt	gctgcatggc	ctcctc	776

<210> 8 15 <211> 168 <212> PRT <213> Zea mays

<400> 8

25

40

45

20 Glu Glu Ala Met Gln Gln Tyr Glu Met Ala Ile Ala Tyr Met Gly Asp 1 5 10 15

Asp Phe Met Phe Gln Leu Phe Gly Lys Tyr Arg Asp Met Ala Leu Ala
20 25 30

Val Lys Asn Pro Cys His Leu Asn Met Ala Ala Cys Leu Ile Lys Leu
35 40 45

Lys Arg Phe Asp Glu Ala Ile Ala Gln Cys Ser Ile Val Leu Thr Glu 30 50 55 60

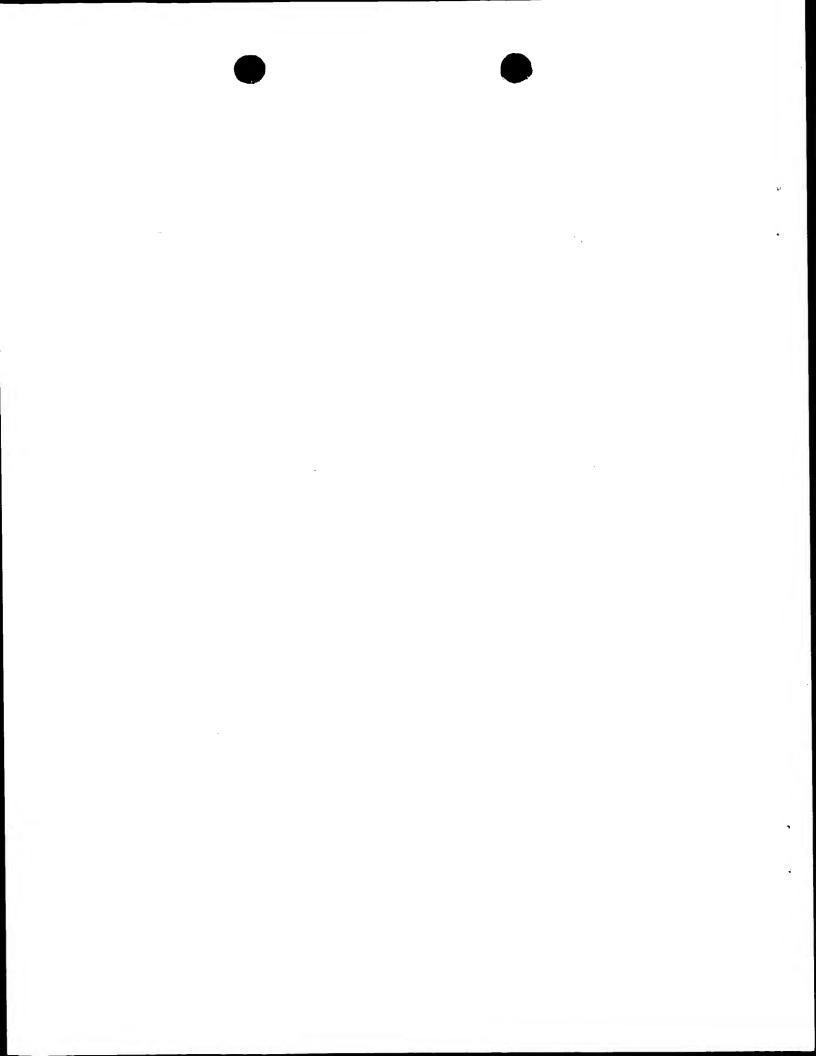
Asp Glu Ser Asn Val Lys Ala Leu Phe Arg Arg Gly Lys Ala Lys Ser 65 70 75 80

35 Glu Leu Gly Gln Thr Glu Ser Ala Arg Glu Asp Phe Leu Lys Ala Lys 85 90 95

Lys Tyr Ser Pro Glu Xaa Lys Glu Ile Ile Arg Glu Leu Arg Leu Leu 100 105 110

Ala Glu Gln Xaa Lys Ala Leu Tyr Gln Lys Gln Lys Glu Leu Tyr Lys
115 120 125

Gly Leu Phe Gly Pro Ser Pro Glu Ala Lys Pro Lys Lys Ala Lys Tyr 130 135 140



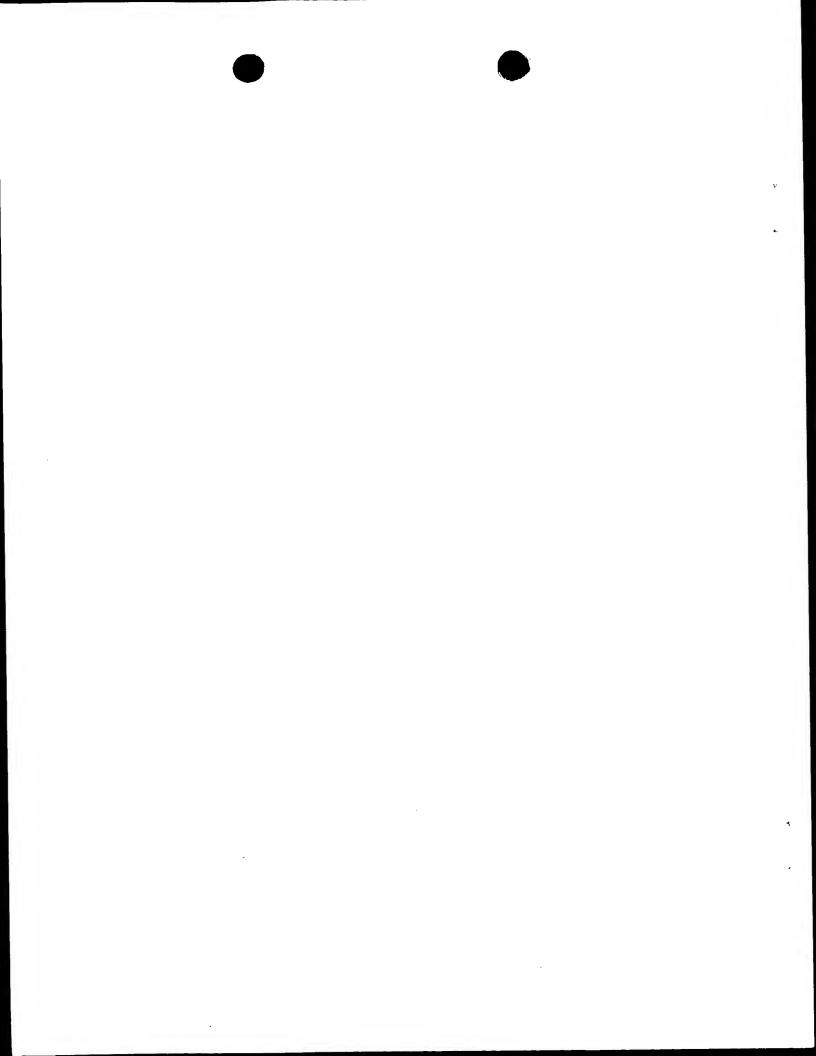
### WO 00/50598

10



PCT/DE00/00506

5 Gly Met Phe Lys Arg Lys Asn Glu 165



A. CLASS	SIFICATION OF SUBJECT MATTER	<del></del>	
IPC 7	C12N15/29 C12N15/05 C07K14	,/415 C12N15/82 C	12N5/10
According	to International Patent Classification (IPC) or to both national classi	oification and IDC	
	S SEARCHED	incanon and IFC	
Minimum d	documentation searched (classification system followed by classific	P	
IPC /	C12N C0/K	. ,	
	tation searched other than minimum documentation to the extent the		
Electronic o	data base consulted during the international search (name of data	base and, where practical, search terms	e rised)
	D, WPI Data, PAJ, BIOSIS		· <del></del> ,
	MENTS CONSIDERED TO BE RELEVANT		
Category *	Citation of document, with indication, where appropriate, of the r	relevant passages	Relevant to claim No.
Х	NAKAMURA Y: "Arabidopsis thalia DNA, chromosome 3, Pl clone: MIL	ana genomic L23"	1-3
	EMBL SEQUENCE DATABASE, 16 November 1998 (1998-11-16),		
!	XP002140828		
!	HEIDELBERG DE AC AB019232		
	the whole document		
X	ROUNSLEY ET AL.: "F15J23TRB IGF Arabidopsis thaliana genomic clo genomic survey sequence" EMBL SEQUENCE DATABASE, 29 May 1998 (1998-05-29), XP002 HEIDELBERG DE Ac AQ011048	one F15J23,	1,2
	the whole document		
]	<del></del>		
		-/	
	her documents are listed in the continuation of box C.	Patent family members are lie	sted in annex.
	tegories of cited documents :	"T" later document published after the	international filing date
conside	ent defining the general state of the art which is not lered to be of particular relevance socument but published on or after the international	cited to understand the principle o invention	with the application but or theory underlying the
nung ca	E16	"X" document of particular relevance; the	annot ha considered to
WINCELE	ent which may throw doubts on priority claim(s) or is cited to establish the publication date of another n or other special reason (as specified)	"Y" document of particular relevance: the	e document is taken alone the claimed invention
"O" documer	ent referring to an oral disclosure, use, exhibition or	document is combined with one or	an inventive step when the
*P* documen	means  out published prior to the international filing date but  an the priority date claimed	ments, such combination being ob in the art.  *&* document member of the same pate	bvious to a person skilled
Date of the ar	actual completion of the international search	Date of mailing of the international	
	3 June 2000	10/07/2000	
Name and me	nailing address of the ISA European Patent Office, P.B. 5818 Patentiaan 2	Authorized officer	
	NL - 2280 HV Rijswijk Tel. (+31-70) 340-2040, Tx. 31 651 epo nl, Fax: (+31-70) 340-3016	Ceder, O	

## INTER IONAL SEARCH REPORT

ational Application No PCT/DE 00/00506

)
to daim No.
-7, 1-13
5
,2
,2
-3

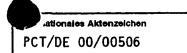
## INTERNATIONALER



In at a se Aktenzeichen
PCT/DE 00/00506

A KIAS	SIEIZIEDIING DEC ANNEI DUNGOGGGGGGGGGGGGGGGGGGGGGGGGGGGGGGGGGGG	101,	7 DE 007 00300
ÎPK 7	sifizierung des anmeldungsgegenstandes C12N15/29 C12N15/05 C07K14	/415 C12N15/82	C12N5/10
Nach der t	internationalen Patentidassifikation (IPK) oder nach der nationalen i	Classification and dec 1914	
B. RECHI	ERCHIERTE GEBIETE		
Recherchi IPK 7	erter Mindestprüfstoff (Klassifikationssystem und Klassifikationssyr C12N C07K	nbole )	
Recherchie	erte aber nicht zum Mindestprüfstoff gehörende Veröffentlichungen.	soweit diese unter die recherchiert	en Gebiete fallen
Während d	er internationalen Recherche konsultierte elektronische Datenbank	(Name der Datenbank und evtl. ve	rwendete Suchbeariffe)
STRAND	), WPI Data, PAJ, BIOSIS		•
C. ALS WI	ESENTLICH ANGESEHENE UNTERLAGEN		
Kategorie*	Bezeichnung der Veröffentlichung, soweit erforderlich unter Ang-	abe der in Betracht kommenden Tei	le Betr. Anspruch Nr.
X	NAKAMURA Y: "Arabidopsis thalia DNA, chromosome 3, P1 clone: MIL EMBL SEQUENCE DATABASE,	ana genomic .23"	1-3
	16. November 1998 (1998-11-16)		
	XP002140828		
	HEIDELBERG DE Ac AB019232		
	das ganze Dokument		
X	ROUNSLEY ET AL.: "F15J23TRB IGF Arabidopsis thaliana genomic clo genomic survey sequence" EMBL SEQUENCE DATABASE, 29. Mai 1998 (1998-05-29), XPOO HEIDELBERG DE Ac AQO11048 das ganze Dokument	ne F15J23,	1,2
	<del></del>	-/	
entine	ere Veröffentlichungen sind der Fortsetzung von Feld C zu skunen	Siehe Anhang Patentfami	ilie
'A' Veröffen	Kategorien von angegebenen Veröffentlichungen : tilchung, die den allgemeinen Stand der Technik definiert,		ach dem internationalen Anmeldedatum iffentlicht worden ist und mit der
E' älteres D	Dokument, das jedoch erst am oder, nach dem internationales	Erfindung zugrundeliegenden	ndern nur zum Verständnis des der Prinzips oder der ihr zugrundeliegenden
L" Veröffent	tlichung, die geeignet ist, einen Prioritätsenessuch zweifelbes ee	"X" Veröffentlichung von besonden	or Badautuna: dia bassana dia 1
scheine anderer	en zu lassen, oder durch die das Veröffentlichungsdatum einer n im Recherchenbericht genannten Veröffentlichung belegt werden pr die aus einem anderen besonderen Grund angegeben ist (wie ihrt)		
ausgefü ausgefü eaffinst	or die aus einem anderen besonderen Grund angegeben ist (wie ihrt)	werden, wenn die Veröffentlich	UPO mit einer oder mohenne andere
P" Veröffent	mutaing, die sich auf eine mundliche Offenbarung, nutzung, eine Ausstellung oder andere Maßnahmen bezieht tlichung, die vor dem internationalen Anmeldedatum, aber nach anspruchten Prioritätedatum veröffentlicht worden ist	Veröffentlichungen dieser Kate diese Verbindung für einen Fa *&* Veröffentlichung, die Mitglied de	egone in Verbindung gebracht wird und chmann naheliegend ist
	bechtusses der Internationalen Recherche	Absendedatum des internation	
	. Juni 2000	10/07/2000	
lame und Po	estanschrift der Internationalen Recherchenbehörde Europäisches Patentamt, P.B. 5818 Patentiaan 2	Bevoltmächtigter Bediensteter	
	NL - 2280 MV Rijswijk Tel. (+31-70) 340-2040, Tx. 31 651 epo ni.		
	Fax: (+31-70) 340-3016	Ceder, O	

### INTERNATIONAL RECHERCHENBERICHT



mmenden Teile	Betr. Anspruch Nr.  1-7, 11-13
mmenden Teile	1-7, 11-13
	11-13
	3
	1-5
	1,2
	1,2
	1-3